



UNIVERSIDADE FEDERAL DO CEARÁ
CENTRO DE TECNOLOGIA
DEPARTAMENTO DE ENGENHARIA ELÉTRICA
CURSO DE GRADUAÇÃO EM ENGENHARIA ELÉTRICA

MATHEUS LIMA SAMPAIO

MODELAGEM, IDENTIFICAÇÃO E CONTROLE PID DE UM ROBÔ PLANAR

FORTALEZA

2021

MATHEUS LIMA SAMPAIO

MODELAGEM, IDENTIFICAÇÃO E CONTROLE PID DE UM ROBÔ PLANAR

Trabalho de Conclusão de Curso apresentado ao Curso de Graduação em Engenharia Elétrica do Centro de Tecnologia da Universidade Federal do Ceará, como requisito parcial à obtenção do grau de bacharel em Engenharia Elétrica.

Orientadora: Prof. Dr^a. Laurinda Lúcia Nogueira dos Reis

Coorientador: Prof. Me. Darielson Araújo de Souza

FORTALEZA

2021

Dados Internacionais de Catalogação na Publicação
Universidade Federal do Ceará
Biblioteca Universitária
Gerada automaticamente pelo módulo Catalog, mediante os dados fornecidos pelo(a) autor(a)

S184m Sampaio, Matheus Lima.

Modelagem, identificação e controle PID de um rôbo planar / Matheus Lima Sampaio. – 2021.
61 f. : il. color.

Trabalho de Conclusão de Curso (graduação) – Universidade Federal do Ceará, Centro de Tecnologia,
Curso de Engenharia Elétrica, Fortaleza, 2021.

Orientação: Profa. Dra. Laurinda Lúcia Nogueira dos Reis.

Coorientação: Prof. Me. Darielson Araújo de Souza.

1. Robótica. 2. Manipulador robótico. 3. Controle PID. I. Título.

CDD 621.3

MATHEUS LIMA SAMPAIO

MODELAGEM, IDENTIFICAÇÃO E CONTROLE PID DE UM ROBÔ PLANAR

Trabalho de Conclusão de Curso apresentado ao Curso de Graduação em Engenharia Elétrica do Centro de Tecnologia da Universidade Federal do Ceará, como requisito parcial à obtenção do grau de bacharel em Engenharia Elétrica.

Aprovada em:

BANCA EXAMINADORA

Prof. Dr^a. Laurinda Lúcia Nogueira dos
Reis (Orientadora)
Universidade Federal do Ceará (UFC)

Prof. Me. Darielson Araújo de Souza (Coorientador)
Universidade Federal do Ceará (UFC)

Prof. Me. Josias Guimarães Batista
Instituto Federal de Educação, Ciência e Tecnologia
do Ceará (IFCE)

À minha família, por sua capacidade de acreditar em mim e investir em mim. Mãe, seu cuidado e dedicação foi que deram, em alguns momentos, a esperança para seguir. Pai, sua presença significou segurança e certeza de que não estou sozinho nessa caminhada.

AGRADECIMENTOS

À Prof. Dr. Laurinda Lúcia Nogueira dos Reis por me orientar no projeto final de curso.

Aos Doutorandos em Engenharia Elétrica, Josias Guimarães Batista e Darielson Araújo de Souza pelo grande auxílio no projeto.

Agradeço a todos os professores por me proporcionar o conhecimento não apenas racional, mas a manifestação do caráter e afetividade da educação no processo de formação profissional, por tanto que se dedicaram a mim, não somente por terem me ensinado, mas por terem me feito aprender.

“Seja Feliz”

(Todos)

RESUMO

Este trabalho introduz os conceitos de controladores Proporcional Integral Derivativo (PID), técnica de controle de processos que une as ações derivativa, integral e proporcional, conceitos de identificação de sistemas pelo método de mínimos quadrados e conceitos de manipuladores robóticos. Além disso, são apresentados a conceituação de cinemática direta, inversa e o Método de Newton para sistemas não-lineares, com o objetivo de resolver a cinemática inversa de um manipulador robótico com 2 Graus de Liberdade (GDL). Todos os conceitos são aplicados com o objetivo de controlar o manipulador robótico e ajustar sua trajetória em um plano cartesiano. Por fim, buscando comprovar a eficácia do controlador e o gerador de trajetórias, foi realizada a trajetória horizontal e trapezoidal no plano cartesiano, obtendo resultados satisfatórios bem próximos das referências.

Palavras-chave: Robótica. Manipulador Robótico. Controle PID.

ABSTRACT

This work introduces the concepts of controllers such as PID, a process control technique that unites as derivative, integral and proportional actions, concepts of system identification by the combined data method and concepts of robotic manipulators. In addition, they are responsible for a conception of direct and inverse kinematics and the Newton Method for non-linear systems, with the objective of solving an inverse kinematics of a robotic manipulator with 2 GDL. All concepts are designed to control the robotic manipulator and adjust its trajectory on a Cartesian plane. Finally, in order to prove the effectiveness of the controller and trajectory generator, the horizontal and trapezoidal trajectory was performed in the Cartesian plane, obtaining satisfactory results very close to the references.

Keywords: Robotics. Robotic manipulator. PID control.

LISTA DE FIGURAS

Figura 1 – Tipos de Garras.	16
Figura 2 – Sensor potenciômetro.	18
Figura 3 – Estrutura do manipulador articulado	18
Figura 4 – Estrutura do manipulador Esférico	19
Figura 5 – Estrutura do manipulador SCARA	20
Figura 6 – Estrutura do manipulador cilíndrico	20
Figura 7 – Estrutura do manipulador cartesiano	21
Figura 8 – Matriz de transformação de um manipulador de 3 elos.	22
Figura 9 – Robô planar.	23
Figura 10 – Robô planar.	24
Figura 11 – Robô planar.	25
Figura 12 – Diagrama de blocos PID.	26
Figura 13 – MPU6050	30
Figura 14 – PWM MG996R	31
Figura 15 – Zona morta MG996R	31
Figura 16 – Zona morta MG996R	32
Figura 17 – Zona morta MG996R	32
Figura 18 – Manipulador utilizado	33
Figura 19 – Resposta ao degrau elo final	34
Figura 20 – Resposta ao degrau elo final com controlador	36
Figura 21 – Esquema Geral.	37
Figura 22 – Resposta ao degrau do elo final com controlador.	38
Figura 23 – Resposta ao degrau elo da base com controlador.	39
Figura 24 – Junta da base.	40
Figura 25 – Junta Final.	40
Figura 26 – Trajetória Vertical.	41
Figura 27 – Trajetória Trapezoidal.	42

LISTA DE TABELAS

Tabela 1 – Especificações Arduino Uno R3	29
Tabela 2 – Índices de desempenho	39

LISTA DE ABREVIATURAS E SIGLAS

GDL Graus de Liberade

PID Proporcional Integral Derivativo

LISTA DE SÍMBOLOS

A_e	Área efetiva da antena
B	Largura de faixa em que o ruído é medido em Hertz
d	Distância em metros
E	Campo elétrico
FA	Fator da antena
Gr	Ganho de recepção
h	Altura efetiva ou comprimento efetivo de uma antena
I	Corrente elétrica
k	Constante de Boltzmann's
K	Eficiência de irradiação
M	Variação do patamar de ruído em função da RBW
N	Condutor de neutro
NF	Figura de ruído
N_i	Potência do ruído na entrada
N_o	Potência do ruído na saída
P	Potência
R	Resistência
S_i	Potência do sinal na entrada
S_o	Potência do sinal na saída
t	Tempo
V	Tensão
Z_L	Impedância da antena
Z_o	Impedância de referência (50Ω)
λ	Comprimento de onda
Γ	Coefficiente de reflexão

SUMÁRIO

1	INTRODUÇÃO	14
1.1	Justificativa	14
1.2	Objetivos	15
1.2.1	<i>Objetivos específicos</i>	15
1.3	Organização do texto	15
2	FUNDAMENTAÇÃO TEÓRICA	16
2.1	Componentes da tipologia de manipuladores	16
2.1.1	<i>Ponta ou garra (End-Effector)</i>	16
2.1.2	<i>Atuadores</i>	17
2.1.3	<i>Sensores</i>	17
2.2	Manipulador robótico	17
2.2.1	<i>Tipos de manipuladores</i>	18
2.2.1.1	<i>Articulado</i>	18
2.2.1.2	<i>Esférico</i>	19
2.2.1.3	<i>SCARA</i>	19
2.2.1.4	<i>Cilíndrico</i>	20
2.2.1.5	<i>Cartesiano</i>	20
2.3	Cinemática direta	21
2.3.1	<i>Representação Denavit Hartenberg</i>	22
2.4	Cinemática inversa	24
2.4.1	<i>Exemplo de um manipulador RR planar</i>	24
2.5	Controlador PID	26
2.5.1	<i>Controle proporcional</i>	27
2.5.2	<i>Controle proporcional mais integral</i>	27
2.5.3	<i>Controlador PID aplicado em um sistema de segunda ordem</i>	27
3	METODOLOGIA	29
3.1	Microcontrolador: Arduino UNO R3	29
3.2	MPU 6050	30
3.3	GNU Octave	30
3.4	Servo MG996R	30

3.5	Manipulador	33
3.6	Identificação de cada junta	34
3.7	Controle PID	35
3.8	Cinemática inversa aplicada para gerar a trajetória	36
3.9	Sistema do manipulador	37
4	RESULTADOS	38
4.1	Resultados ao degrau	38
4.2	Resultados dos controladores atuando simultaneamente	39
4.3	Resultado trajetória vertical	41
4.4	Resultado trajetória Trapezoidal	42
5	CONCLUSÕES E TRABALHOS FUTUROS	43
	REFERÊNCIAS	44
	APÊNDICES	46
	APÊNDICE A – Códigos-fontes utilizados para controle do braço robótico	46
	ANEXOS	61

1 INTRODUÇÃO

A definição de robô dada pelo "Robotics Institute of America" (RIA): "Um robô é um manipulador multifuncional reprogramável projetado para mover o material, peças, ferramentas ou dispositivos especializados com movimentos programados de variável bruta para o desempenho de uma variedade de tarefas.". Portanto, os robôs podem efetuar várias atividades realizadas por humanos e também atividades que não são executáveis por pessoas, sendo possível programar e montá-los pra várias aplicações(bélicas, industriais, entretenimento, entre outras) (ROBÓTICA, 1997).

A industrialização está intimamente ligada aos robôs e manipuladores, com isso, o desenvolvimento de um alavanca o outro. As indústrias precisam ser competitivas para oferecer melhores preços e produtos de alta qualidades, assim, precisam de equipamentos com eficiência e precisão. Para alcançar os objetivos citados, foram desenvolvidos várias técnicas de controle de robôs, controlando as posições trajetórias e desenvolvendo robôs específicos para cada necessidade, tanto para atender exigências industriais como necessidades comerciais (CRAIG, 2009).

Com o desenvolvimentos das técnicas e difusão dos conhecimentos, foram criados vários robôs, que ajudam e facilitam atividades do cotidiano. Com tal difusão, o contato com os robôs tornou frequente, sendo cada vez mais indispensáveis para as atividades gerais do dia a dia. E certamente existem várias lacunas que ainda podem ser aproveitadas no mercado para o desenvolvimento de outros tipos de robôs.

Este trabalho apresenta a aplicação das técnicas de identificação, controle e aplicação nos robôs. Sendo o enfoque nos manipuladores que são compostos por juntas e elos. Serão aplicadas as técnicas em um robô articulado ou também chamados de angulares, sendo o formado semelhante a um braço humano.

1.1 Justificativa

A grande presença de robôs nas atividades gerais da sociedade atual, mostra a grande importância que eles têm e o grande potencial de crescimento que ainda é possível obter com os robôs.

A grande janela de possibilidades de aplicação, mostra a necessidade de conhecer, desenvolver e programá-los. Com esse conhecimento é possível desenvolver tanto produtos

como novas possibilidades para a indústria, ajudando no desenvolvimento da indústria 4.0 que procuram menor custo, operações em tempo real e a otimização dos processos (INDUSTRIA, 2017).

1.2 Objetivos

Este trabalho tem como objetivo integrar um microcontrolador com software matemático para o controle de posição e trajetória de um manipulador com 2 graus de liberdade. Utilizando técnicas clássicas de cinemática e controle. Visando desenvolver as técnicas aplicadas, facilitando o conhecimento sobre a área e utilizando equipamentos de fácil acesso.

As especificações requeridas foram baseadas no artigo "*Modeling, Simulation and Control of a Robotic Arm*" (EBRAHIMI, 2019). A ultrapassagem máxima aceita será de 5% e o tempo de subida de 2 segundos.

1.2.1 Objetivos específicos

Os objetivos principais do trabalho são:

- Modelagem matemática de um manipulador;
- Implementar controle PID em um manipulador real;
- Controlar posição e trajetória do manipulador real;

1.3 Organização do texto

No capítulo 1, foi dada uma abordagem geral sobre o tema, tendo a função de deixar claro a importância da discussão do assunto tratado neste trabalho e a justificativa para tal abordagem.

No capítulo 2, é mostrada a fundamentação teórica utilizado no trabalhando, definindo termos utilizados e desenvolvendo modelos utilizados.

No capítulo 3, é desenvolvida a metodologia, esse tópico mostra passo a passo como foi realizado o projeto, mostrando os equipamentos, sensores e atuadores utilizados e como foram utilizados.

No capítulo 4, é mostrado e discutido os resultados e os índices de desempenho do controlador. As trajetórias utilizadas foram a horizontal e a trapezoidal. Também foi mostrada a resposta ao degrau de cada junta.

2 FUNDAMENTAÇÃO TEÓRICA

Essa capítulo tem como objetivo apresentar os fundamentos básicas utilizados no projeto, mostrando a fundamentação teórica sobre cinemática direta e inversa, controle PID, os tipos de manipuladores, sensores e representação de Denavit-Hartenberg e avançar nos conhecimentos sobre robôs. Logo, o robô pode ser definido como:

Mecanicamente, um robô é composto por uma série de elementos ou elos unidos por juntas que permitem um movimento relativo entre cada um dos dois elos. A constituição física da maioria dos robôs industriais guarda certa semelhança com a anatomia do braço humano, razão pela qual às vezes, se referem aos diferentes elementos que compõem o robô, termos como corpo, braço, cotovelo e pulso (ROBÓTICA, 1997).

2.1 Componentes da tipologia de manipuladores

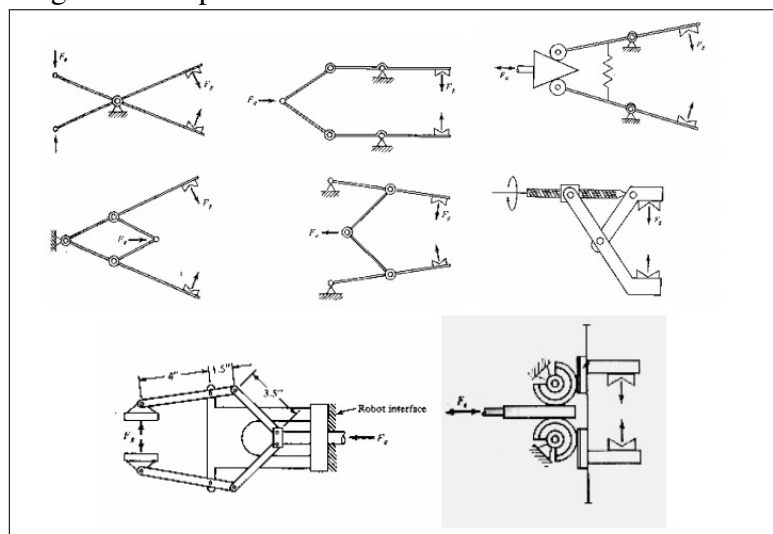
2.1.1 Ponta ou garra (End-Effector)

O primeiro componente a ser definido do manipulador será a ponta ou garra, a definição formal pode ser dada por:

Componente ligado à extremidade do braço, isto é, ligado ao último elo do manipulador, e que tem funções adicionais (agarrar ou prender um objeto, ou ainda um dispositivo com funções adicionais mais específicas). A ponta ou *end-effector* pode ser do tipo garra (*gripper*) ou uma ferramenta (*tool*). (SANTOS, 2004)

A Figura 1 um mostra alguns tipos de garras que podem ser utilizadas em manipuladores.

Figura 1 – Tipos de Garras.



Fonte: (SANTOS, 2004).

2.1.2 Atuadores

Componentes que transformam energia hidráulica, elétrica e pneumática em energia mecânica. Esses componentes usam a energia mecânica para que o manipulador se mova (LEE, 2018).

Os atuadores podem ser classificados em:

- Hidráulicos: geralmente é acionado por fluido em movimento, geralmente óleo pressurizado. São utilizados para transporte de carga pesada e tem de média para alta precisão de controle de posição e velocidade.
- Pneumáticos: geralmente é acionado por fluido em movimento, geralmente ar comprimido. São utilizados no transporte de cargas médias e pequenas, tendo uma alta velocidade, mas uma baixa precisão, porém, um baixo custo.
- Eletromagnético: são atuadores usados costumeiramente em robôs, como motores de corrente contínua e motores de passo. São utilizados para o transporte de cargas médias e pequenas, possuem uma alta precisão, porém ocupam muito espaço.

2.1.3 Sensores

Os sensores têm grande importância na robótica, eles fazem com que o robôs recebam informações do ambiente, a definição pode ser dada por:

Fornecem informação ao controlador, nomeadamente em que local estão as diversas juntas do manipulador. Além destes sensores internos há também os interruptores de fim de curso que delimitam as deslocações extremas das juntas. Existem também os sensores externos dedicados a recolher informação adicional sobre o ambiente (SANTOS, 2004).

Os sensores podem ser potenciômetros, codificadores, acelerômetros, etc. Cada um deles podendo ser utilizados de diversas formas ou combinados para uma maior precisão, a Figura 2 mostra um modelo de potenciômetro.

2.2 Manipulador robótico

Existem várias composições de manipuladores e tipos de manipuladores, a maior parte dos manipuladores são classificados como:

A maioria dos manipuladores industriais atualmente tem seis ou menos graus de liberdade. Esses manipuladores são geralmente classificados cinematicamente com base nas três primeiras juntas do braço, com o pulso sendo descrito

Figura 2 – Sensor potenciômetro.



Fonte: (WB SENSORS, 2004).

separadamente. A maioria desses manipuladores caem em um dos cinco tipos geométricos: articulado (RRR), esférico (RRP), SCARA (RRP), cilíndrico (RPP) ou cartesiano (PPP) (SPONG; VIDYASAGAR, 2008a).

2.2.1 Tipos de manipuladores

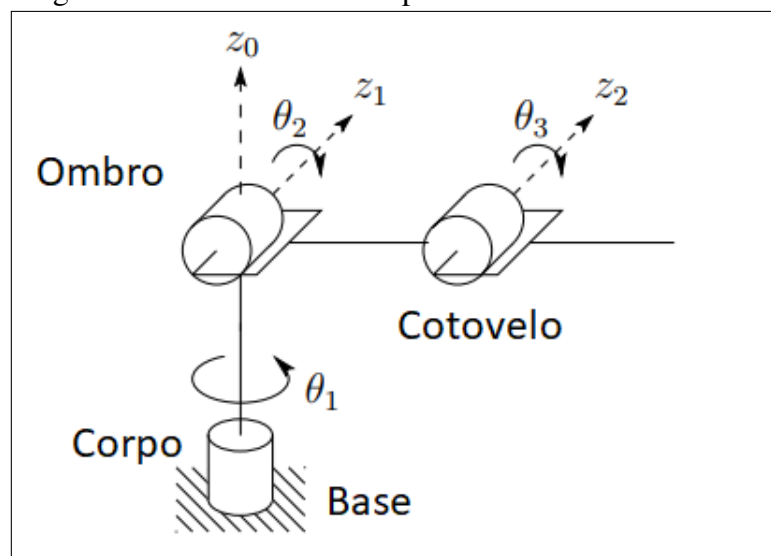
2.2.1.1 Articulado

O primeiro tipo de manipular é o manipulador antropomórfico que é definido como :

O manipulador articulado é chamado de manipulador de revolução ou manipulador antropomórfico, nessa configuração existem pelo menos três juntas de rotação. O eixo de movimento da junta de rotação da base é ortogonal às outras duas juntas de rotação, que são simétricas entre si. Tal configuração é a que permite maior mobilidade aos robôs. O volume de trabalho apresenta uma geometria mais complexa em relação às outras (TRONCO, 2017).

Na Figura 3 é mostrada a estrutura do manipulador robótico de revolução:

Figura 3 – Estrutura do manipulador articulado

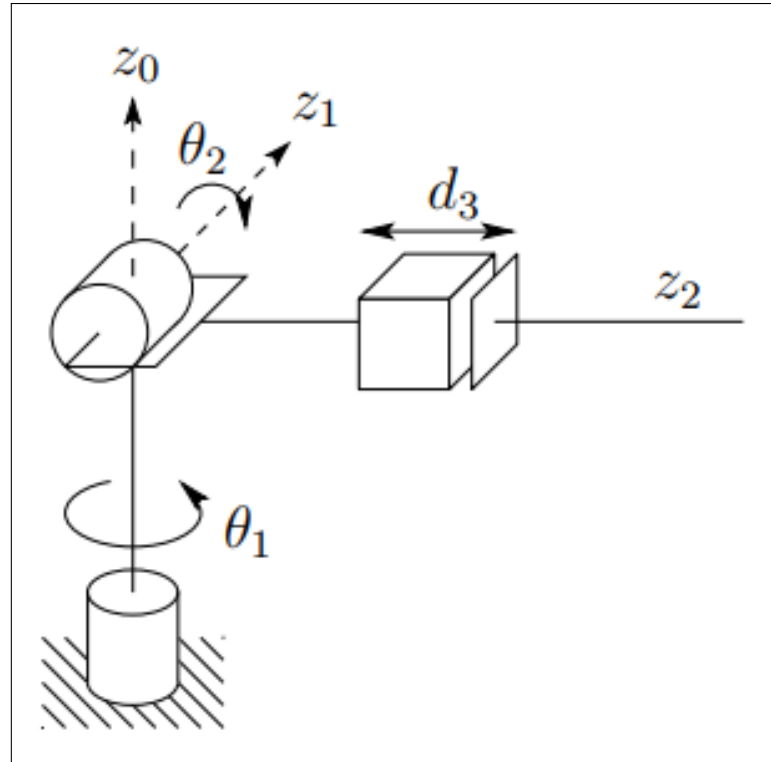


Fonte: (SPONG; VIDYASAGAR, 2008b).

2.2.1.2 Esférico

O manipulador esférico é criado ao substituir a terceira articulação do manipulador antropomórfico por uma articulação prismática (RRP), como mostrado na Figura 4. O manipulador tem as três juntas (z_0 , z_1 , z_2), mutuamente, perpendiculares.

Figura 4 – Estrutura do manipulador Esférico



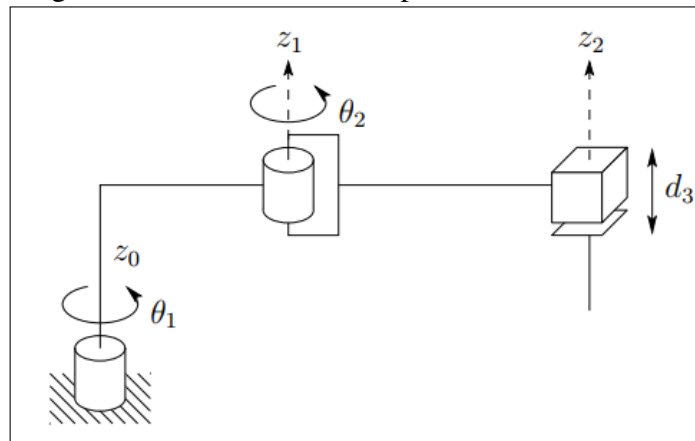
Fonte: (SPONG; VIDYASAGAR, 2008a).

O manipulador esférico consegue ter um grande volume de atuação, porém tem um modelo cinemático complexo.

2.2.1.3 SCARA

O SCARA (Robô Articulado Compatível Seletivo para Montagem) é uma configuração popular, que, como o próprio nome sugere, é adaptada para montagem operações. Embora o SCARA tenha uma estrutura RRP, é bastante diferente da configuração esférica na aparência e na sua gama de aplicações. Ao contrário do desenho esférico, que tem z_0 , z_1 , z_2 mutuamente perpendiculares, o SCARA tem z_0 , z_1 , z_2 paralelos. A Figura 5 apresenta a estrutura do manipulador SCARA.

Figura 5 – Estrutura do manipulador SCARA



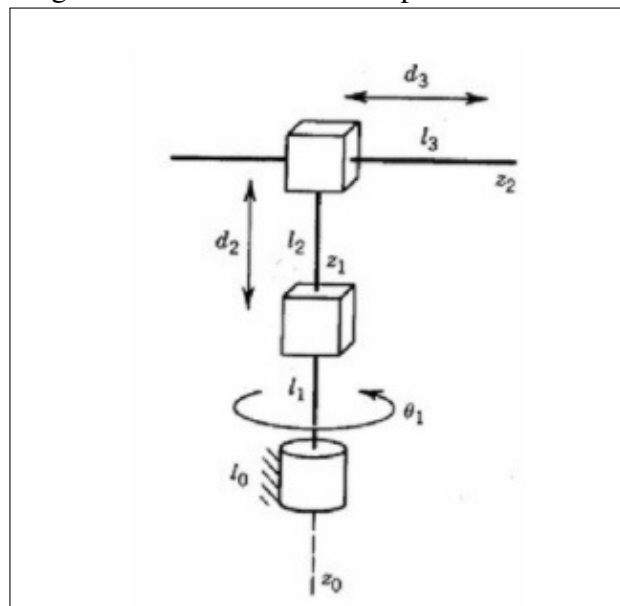
Fonte: (SPONG; VIDYASAGAR, 2008a).

2.2.1.4 Cilíndrico

A primeira junta é de rotação e produz uma rotação em torno da base, enquanto a segunda e a terceira juntas são prismáticas, logo, o manipulador cilíndrico é RPP. Conforme o nome, sugere que as variáveis das juntas são as coordenadas cilíndricas do *End-Effector* em relação a base.

A Figura 6 mostra como pode ser representado o manipulador cilíndrico.

Figura 6 – Estrutura do manipulador cilíndrico



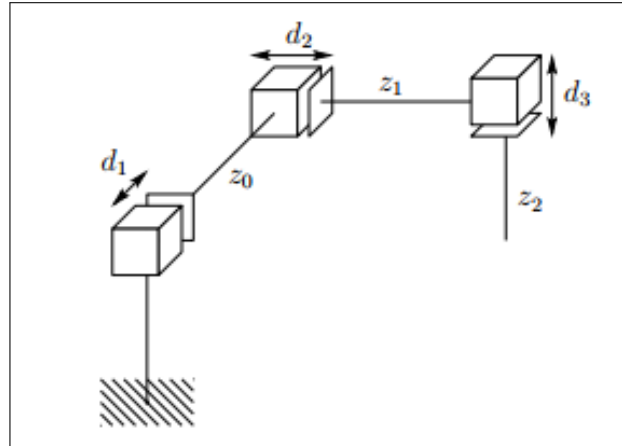
Fonte: (LEE, 2018).

2.2.1.5 Cartesiano

O manipulador cartesiano é definido como:

Um manipulador cujas três primeiras articulações são prismáticas é conhecido como um manipulador cartesiano (PPP). Para o manipulador cartesiano, as variáveis das juntas são as coordenadas cartesianas do "End-Effector" em relação à base. Como seria de se esperar, a descrição cinemática de este manipulador é a mais simples de todas as configurações. (SPONG; VIDYASAGAR, 2008a)

Figura 7 – Estrutura do manipulador cartesiano



Fonte: (SPONG; VIDYASAGAR, 2008a).

As configurações cartesianas são úteis para aplicações de montagem de mesa e, como robôs de pórtico, para transferência de material ou carga. Na Figura 7 é mostrada a estrutura do manipulador cartesiano.

2.3 Cinemática direta

Uma das definições sobre cinemática é dada por:

A cinemática de um manipulador é o estudo do conjunto de relações entre as posições, velocidades e acelerações dos seu elos (SANTOS, 2004).

A definição para Craig é dada por :

Cinemática é a ciência do movimento que trata do assunto sem considerar as forças que o causam. Nessa ciência estudamos a posição, a velocidade, a aceleração e todas as derivadas de ordem mais elevada das variáveis de posição (com respeito ao tempo ou quaisquer outras variáveis). Assim, o estudo da cinemática dos manipuladores refere-se a todas as propriedades do movimento que sejam geométricas e baseadas no tempo (CRAIG, 2009).

O principal objetivo da cinemática direta é analisar a posição de cada efetuador a partir da posição angular de cada uma das articulações.

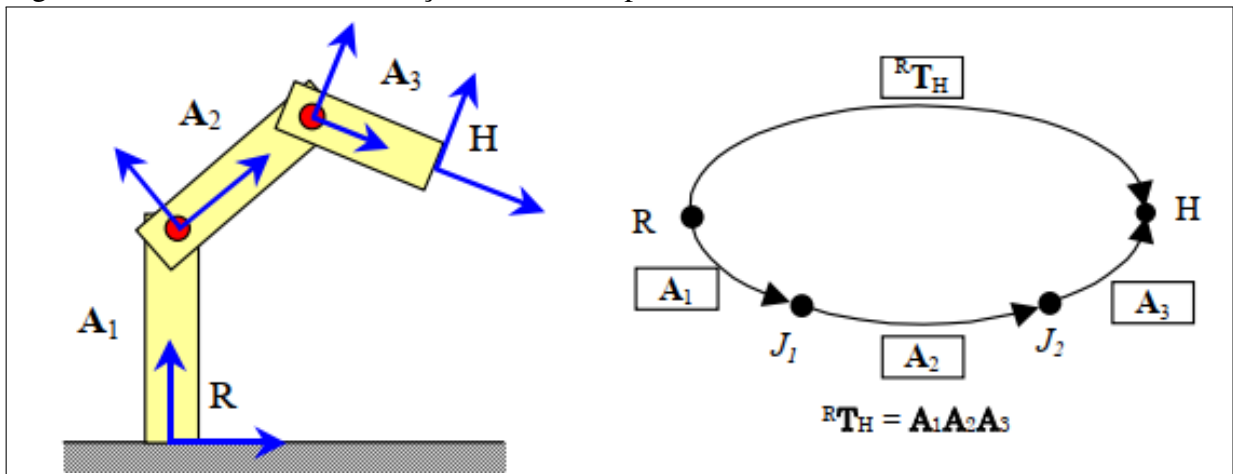
Para conseguir o objetivo da cinemática direta existe a transformação ${}^R T_H$, porém, essa relação só dá informação entre a origem e o "End-Effector", logo, é necessário uma relação

para as juntas intermediárias, dada por $A_1, A_2 \dots A_n$. Sendo:

$${}^R T_H = A_1 A_2 \dots A_n \quad (2.1)$$

A Figura 3 esquematiza as transformações associadas a um manipulador de 3 elos.

Figura 8 – Matriz de transformação de um manipulador de 3 elos.



Fonte: (SANTOS, 2004).

O algoritmo da cinemática direta consiste em 7 passos, sendo:

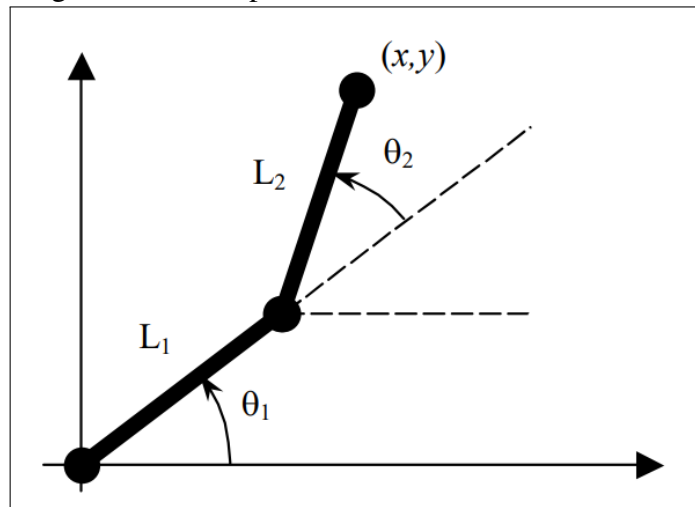
1. Colocar o robô na posição inicial;
2. Atribuir um sistema de coordenada para cada elo;
3. Descrever as relações(translações e rotações) entre as variáveis das juntas e dos elos;
4. Determinar as matrizes de transformação A_i dos diversos elos;
5. Multiplicar os A_i dos diversos elos;
6. Obter as coordenadas de posição;
7. Obter as coordenadas de orientação.

2.3.1 Representação Denavit Hartenberg

Embora seja possível realizar análises com estrutura arbitrária anexado a cada link, é útil ser sistemático na escolha desses quadros. Assim, a convenção usada para selecionar quadros de referência em aplicações robóticas é Denavit-Hartenberg, ou convenção D-H. Nesta convenção, cada transformação homogênea A_i é representado como um produto de quatro transformações básicas (SPONG; VIDYASAGAR, 2008a).

Considere agora um manipulador robótico planar Figura 9.

Figura 9 – Robô planar.



Fonte: (SANTOS, 2004)

Considerando a Figura 9, a descrição do subespaço (??) T_W^B , ou T_0^2 , para o manipulador em questão pode ser dada por:

$$T_W^B = \begin{bmatrix} \cos \phi & -\sin \phi & 0 & x \\ \sin \phi & \cos \phi & 0 & y \\ 0 & 0 & 1 & 0 \\ 0 & 0 & 0 & 1 \end{bmatrix} \quad (2.2)$$

Em que x e y informam a posição e a orientação do efetuador final. Logo, o subespaço é gerado à medida em que são atribuídos valores a essas variáveis. De acordo com os parâmetros dos elos do robô, as equações cinemáticas são dadas da seguinte forma:

$$T_0^2 = \begin{bmatrix} \cos \theta_1 + \theta_2 & -\sin \theta_1 + \theta_2 & 0 & L_1 \cos \theta_1 + L_2 \sin \theta_1 + \theta_2 \\ \sin \theta_1 + \theta_2 & \cos (\theta_1 + \theta_2) & 0 & L_1 \sin \theta_1 + L_2 \cos (\theta_1 + \theta_2) \\ 0 & 0 & 1 & 0 \\ 0 & 0 & 0 & 1 \end{bmatrix} \quad (2.3)$$

A partir das equações dados foram encontradas as seguintes equações:

$$x = L_1 \cos \theta_1 + L_2 \cos (\theta_1 + \theta_2) \quad (2.4)$$

$$y = L_1 \sin \theta_1 + L_2 \sin (\theta_1 + \theta_2) \quad (2.5)$$

2.4 Cinemática inversa

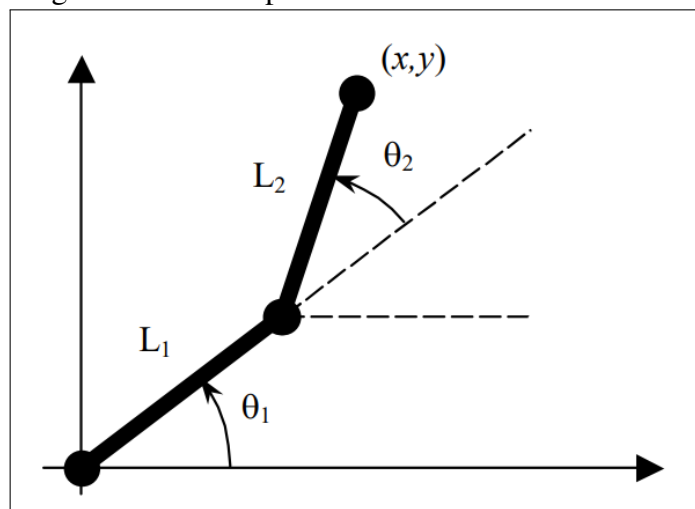
A cinemática direta tem o ângulo de cada junta e encontra a posição do manipulador, na cinemática inversa é o inverso, a posição é dada e quer encontrar o conjunto de ângulos para essa posição. Para Santos a cinemática inversa é dada por:

A cinemática inversa procura determinar o conjunto de valores das juntas que se adequam a uma dada configuração do espaço operacional ou cartesiano. A cinemática inversa pode ser vista conceitualmente como o conjunto de processos para determinar as funções inversas do sistema das expressões da cinemática direta (SANTOS, 2004).

2.4.1 Exemplo de um manipulador RR planar

Nesse tópico será demonstrado a resolução da cinemática inversa para um manipulador 2-DOF planar. Na Figura 10 será mostrado o modelo que será resolvido.

Figura 10 – Robô planar.



Fonte: (SANTOS, 2004)

Para começar a solução é utilizada a solução da cinemática direta, dada por :

$$x = L_1 \cos \theta_1 + L_2 \cos (\theta_1 + \theta_2) \quad (2.6)$$

$$y = L_1 \sin \theta_1 + L_2 \sin (\theta_1 + \theta_2) \quad (2.7)$$

Sendo $L_1 = 0,12$ m e $L_2 = 0,20$ m. Elevando as expressões ao quadrado e somando-as:

$$x^2 + y^2 = L_1^2 \cos^2 \theta_1 + L_1^2 \sin^2 \theta_1 + L_2 \sin^2 (\theta_1 + \theta_2) + L_2^2 \cos^2 (\theta_1 + \theta_2) + 2L_1L_2 \cos \theta_1 \cos (\theta_1 + \theta_2) + 2L_1L_2 \sin \theta_1 \sin (\theta_1 + \theta_2) \quad (2.8)$$

Simplificando ficará:

$$x^2 + y^2 = L_1^2 + L_2^2 + 2L_1L_2 \cos \theta_2 \quad (2.9)$$

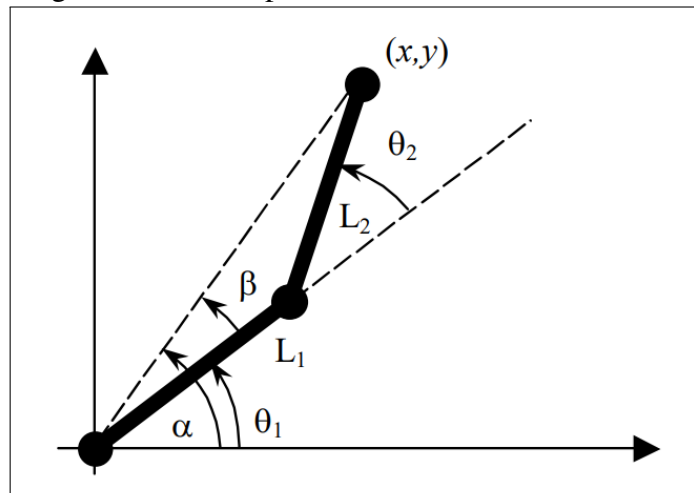
Assim θ será:

$$\theta_2 = \pm \arccos \frac{x^2 + y^2 - L_1^2 - L_2^2}{2L_1L_2} \quad (2.10)$$

Portanto, é possível notar que existem duas soluções possíveis pelo \pm na fórmula.

Para encontra θ_1 é preciso utilizar o recurso da tangente trigonométrica.

Figura 11 – Robô planar.



Fonte: (SANTOS, 2004)

Sendo:

$$\tan(A - B) = \frac{\tan A - \tan B}{1 - \tan A \tan B} \quad (2.11)$$

$$\tan \beta = \frac{L_2 \sin \theta_2}{L_1 + L_2 \cos \theta_2} \quad (2.12)$$

$$\tan \alpha = \frac{y}{x} \quad (2.13)$$

Como na Figura 11, $\theta_1 = \alpha - \beta$, logo, pela relação da tangente da diferença da Fórmula 2.12:

$$\theta_1 = \arctan\left(\frac{y(L_1 + L_2 \cos \theta_2 - xL_2 \sin \theta_2)}{x(L_1 + L_2 \cos \theta_2) + yL_2 \sin \theta_2}\right) \quad (2.14)$$

Portanto, foi possível encontrar uma relação para ambos os ângulos.

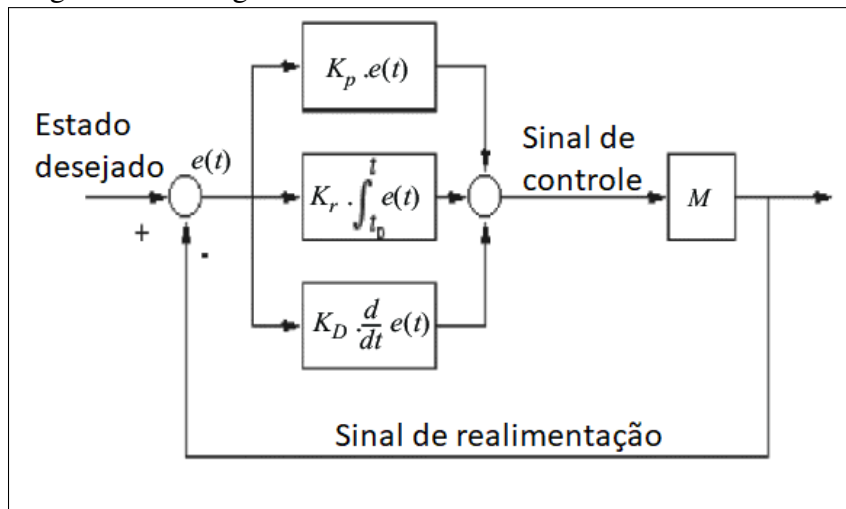
2.5 Controlador PID

O controlador PID é formado por três termos, proporcional, integral e derivativo, cada um interferindo de forma diferente no sistema. O controle PID tem a função de transferência dada por:

$$D(s) = k_p + \frac{k_I}{s} + K_D s \quad (2.15)$$

Sendo K_p o controle proporcional, K_I o controle integral e K_D o controle derivativo. O diagrama de blocos do controlador PID pode ser representado pela Figura 12.

Figura 12 – Diagrama de blocos PID.



Fonte: (FRANKLIN *et al.*, 2013).

2.5.1 Controle proporcional

A definição dada para a parte proporcional é dada por:

Quando o sinal de controle realimentado é linearmente proporcional ao erro do sistema, chamamos o resultado de realimentação proporcional (FRANKLIN *et al.*, 2013)

A função de transferência de controlador proporcional é dada por:

$$\frac{U(s)}{E(s)} = D_{cl}(s) = k_p \quad (2.16)$$

No caso de aplicar um controlado proporcional em uma planta de segunda ordem:

O projetista pode controlar o termo constante nesta equação, o qual determina a frequência natural, mas não pode controlar o coeficiente de amortecimento. O sistema é Tipo 0 e, se fizermos k_p grande o suficiente para obtermos o erro em regime permanente pequeno, o coeficiente de amortecimento pode ser muito pequeno para uma resposta transitória satisfatória usando apenas o controlador proporcional (FRANKLIN *et al.*, 2013)

2.5.2 Controle proporcional mais integral

O controle PI(proporcional-integral) é o controle proporcional adicionado do integral de equação dada por:

$$\frac{U(s)}{E(s)} = D_{cl}(s) = k_p + \frac{k_I}{s} \quad (2.17)$$

A introdução do termo integral aumenta o tipo do sistema e, portanto, pode rejeitar totalmente perturbações constantes (FRANKLIN *et al.*, 2013).

2.5.3 Controlador PID aplicado em um sistema de segunda ordem

Por fim é adicionado o controlador derivativo, com isso a equação de controle ficará a Equação 2.15. O controle derivativo tem como objetivo suavizar a resposta.

Para exemplificar os efeitos do controle PID, pode-se aplicar em um sistema de segunda ordem. A equação do sistema de segunda ordem aplicado o PID é dado por :

$$s^3 + (a_1 + Ak_d)s^2 + (a_2 + Ak_p) + Ak_I = 0 \quad (2.18)$$

O ponto aqui é que nesta equação, na qual as três raízes determinam a natureza da resposta dinâmica do sistema, os três parâmetros k_p , k_I e k_D selecionados apropriadamente determinam, em teoria, as raízes arbitrariamente. Sem o termo derivativo, existiriam apenas dois parâmetros de ajuste, mas ainda existiriam três raízes; assim, a escolha das raízes da equação característica seria restrita. Para ilustrar o efeito deste termo de forma mais concreta, um exemplo numérico é utilizado. (FRANKLIN *et al.*, 2013)

3 METODOLOGIA

O capítulo metodologia mostrará passo a passo do projeto do manipulador robótico, começando pelos utilitários físicos utilizados, como, sensores e microcontroladores até a parte de programação e controle utilizados.

3.1 Microcontrolador: Arduino UNO R3

O microcontrolador escolhido para o projeto foi o Arduino Uno R3, ele foi escolhido pela sua extensa lista de bibliotecas e por ser um dos mais utilizados para pequenos projetos. O arduino tem as especificações necessárias para o projeto, são elas:

Especificações	
Microcontrolador	ATmega328
Tensão de operação	5V
<i>Input(Recomendado)</i>	7 - 12 V
<i>Input(Limite)</i>	6 - 20 V
Pinos Digital I/O	6
Pinos Analógicos Input	6
Corrente (DC) por pino input e output	20 mA
Corrente (DC) para pino 3.3 V	50 mA
<i>Flash Memory</i>	32 KB
SRAM	2 KB
EEPROM	1 KB
<i>Frequência de Clock</i>	16 MHz

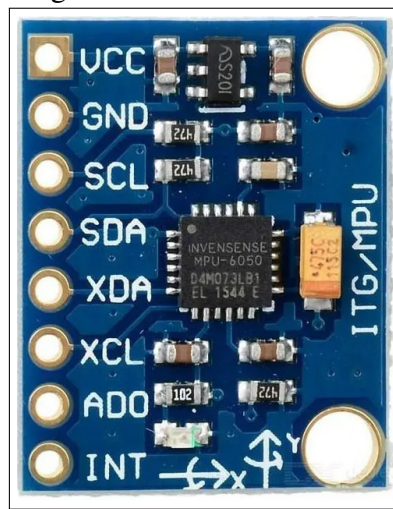
Tabela 1 – Especificações Arduino Uno R3

O Arduino é uma plataforma de prototipagem eletrônica de hardware livre e de placa única, projetada com um microcontrolador Atmel AVR com suporte de entrada/saída embutido, uma linguagem de programação padrão, a qual tem origem em Wiring, e é essencialmente C/C++. Ele foi desenvolvido na Itália em 2005 com o objetivo de diminuir custo de pequenos projetos, principalmente os projetos escolares.

3.2 MPU 6050

O MPU6050 é um sensor acelerômetro e giroscópio 3 Eixos e com 6 graus de liberdade utilizado em projetos de robótica, com comunicação serial I2C, com as portas SDA e SCL. O sensor foi utilizado no manipulador robótico com o objetivo de medir a posição angular de cada junta. O sensor é mostrado na Figura 13.

Figura 13 – MPU6050



Fonte: (IVENSENSE SEMICONDUCTORS, 2013)

Para conseguir essa medição foi necessário utilizar o método de fusão sensorial e o Filtro de Kalman, com essas ferramentas matemáticas foi possível medir com alta precisão cada junta.

3.3 GNU Octave

GNU Octave é um software interativo de alta performance voltado para cálculo numérico. O software foi utilizado para gerar e enviar o sinal de entrada para o microcontrolador por uma comunicação serial USB, além de ser utilizado como coletor de dados.

A comunicação foi feita em I2C utilizando uma porta USB entre o computador utilizando o Octave e o Arduino com código inserido.

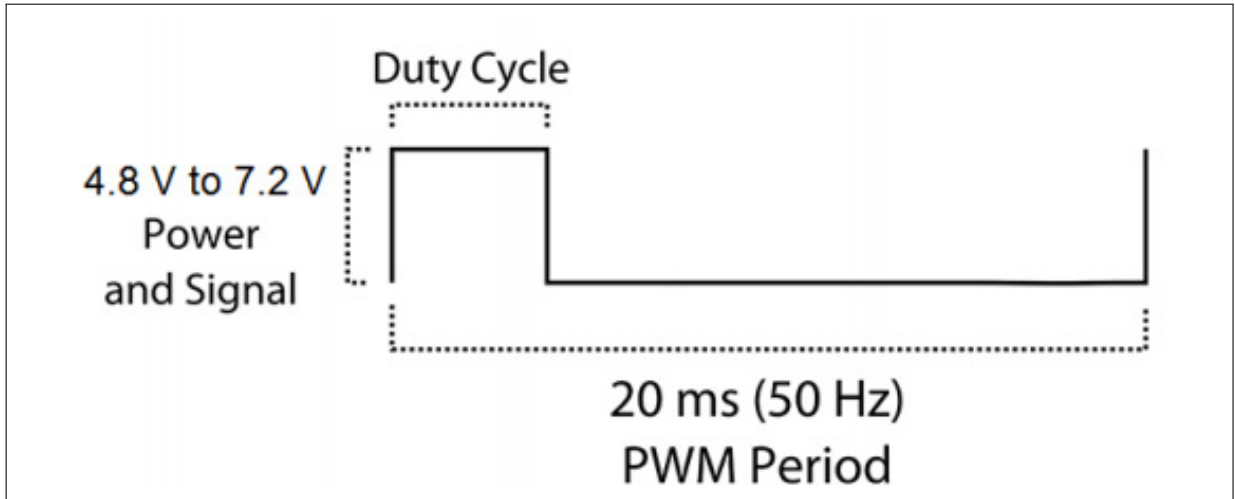
3.4 Servo MG996R

O servo motor é uma máquina de corrente contínua, que apresenta um controlador de posição em malha fechada. Esse manipulador é muito utilizado em pequenos projetos de

robótica por ter preço acessível e de fácil manipulação.

Para manipular o servo é necessário 4.8V a 7.2V para a alimentação e um sinal PWM, como mostrado na Figura.

Figura 14 – PWM MG996R



Fonte: (TOWERPRO, 2010).

O sinal de pwm varia de 1ms a 2ms em alta, sendo, 1ms 0 graus e 2ms 180 graus, os intervalos entre eles apresentam uma relação linear entra milissegundos e graus.

O servo utilizado no projeto foi o MG996R da *TowerPower*, mostrado na Figura 15.

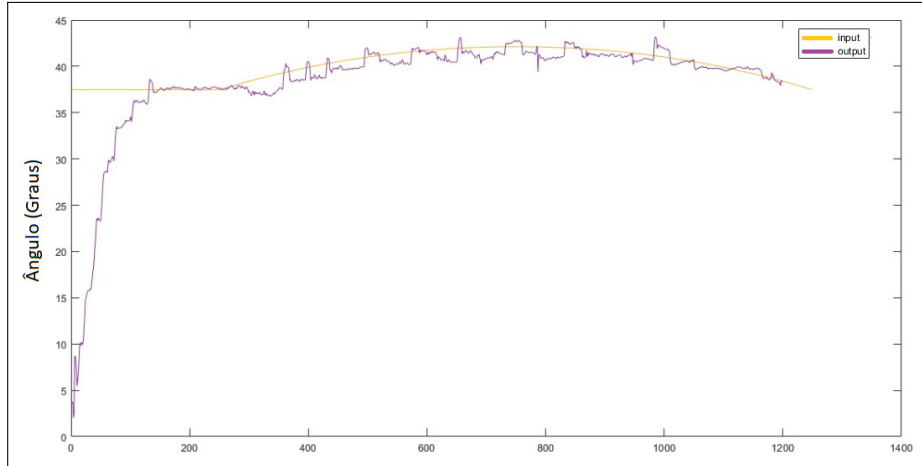
Figura 15 – Zona morta MG996R



Fonte: Autor.

O servo utilizado apresenta um alto torque, no entanto, possui muitas zonas mortas, como apresentada na Figura a seguir.

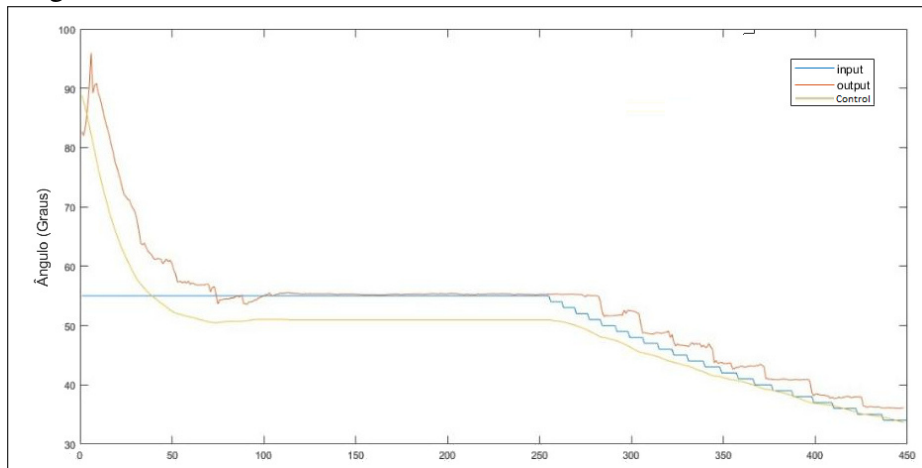
Figura 16 – Zona morta MG996R



Fonte: Autor.

Para ratificar essa possibilidade é possível ver na Figura 17 o sinal de controle, entrada e saída, é possível perceber a continuidade do sinal de controle, no entanto, a saída demora para responder.

Figura 17 – Zona morta MG996R



Fonte: Autor.

Como é possível notar na Figura 16 e 17, sendo x as amostras e y o ângulo em graus, o servo não responde a pequenas variações no sinal de comando, respondendo apenas quando o sinal de comando variar 0,5 graus. Logo, quando o servo responde, acontece uma mudança rápida de ângulo.

3.5 Manipulador

O manipulador é um RR em movimento planar, ele é constituído por 3 servos motores MG996R, 2 servos na Base e um para a segunda junta. A junta da base tem comprimento de 12 centímetros e a junta final tem comprimento de 20 centímetros. O manipulador é mostrado na Figura 18.

Figura 18 – Manipulador utilizado



Fonte: Autor

Aplicando o comprimento do manipulador nas Equações 2.6 e 2.7:

$$x = 0,12 \cos \theta_1 + 0,20 \cos (\theta_1 + \theta_2) \quad (3.1)$$

$$y = 0,12 \sin \theta_1 + 0,20 \sin (\theta_1 + \theta_2) \quad (3.2)$$

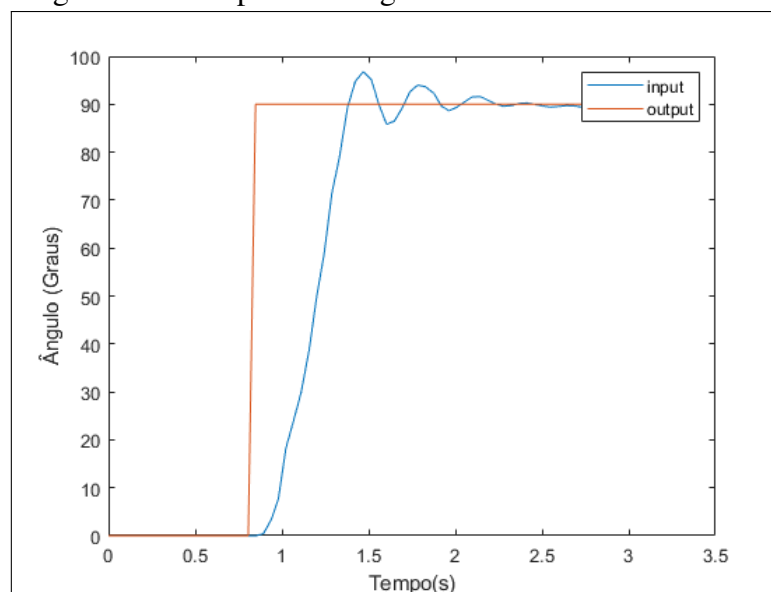
3.6 Identificação de cada junta

Para fazer a identificação da planta foi utilizado o sensor MPU6050 junto com o Arduino para enviar sinais à planta e colher os dados de saída. O processo de identificação do sistema foi feito utilizando o modelo ARX (autoregressivo com entradas exógenas) (AGUIRRE, 2004), que é caracterizado pela equação de diferenças apresentada na Equação 3.3. Foi utilizado o método dos mínimos (CHAPRA; CANALE, 2016) quadrados para fazer a estimação dos parâmetros do modelo ARX..

$$A(q)y(t) = B(q)u(t - nk) + e(t) \quad (3.3)$$

Para identificação foi enviado o sinal de degrau de Heaviside, conhecido também como degrau. O sinal foi de 0 a 90 graus, o sinal de saída para a junta final e da base foram as seguintes:

Figura 19 – Resposta ao degrau elo final



Fonte: Elaborado pelo autor (2021).

Como é possível notar na Figura 19, a forma do sinal de saída se aproxima de uma equação de segunda ordem. Logo, foi utilizado o método dos mínimos quadrados para a identificação. As equações de cada junta foi :

$$\frac{0.03035z - 0,00075}{z^2 - 1,759z + 0,7895} \quad (3.4)$$

$$\frac{0,03943z - 0,02598}{z^2 - 1,864z + 0,8776} \quad (3.5)$$

Após a transformação para o contínuo:

$$JuntaFinal = \frac{0,4225s + 20,83}{s^2 + 5.909s + 21.17} \quad (3.6)$$

$$JuntaBase = \frac{0,8703s + 8,981}{s^2 + 3,263s + 8,934} \quad (3.7)$$

3.7 Controle PID

Como o modelo encontrado foi um de segunda ordem e a ultrapassagem é um fator muito prejudicial para manipuladores robótico, foi necessário que o controlador PID retirasse a ultrapassagem e diminuísse a constante de tempo.

Com as Equações 3.6 e 3.7, o controlador escolhido para a junta Final foi um PID e para a Junta da Base apenas um integrador.

O método utilizado foi a alocação de polos, portanto foi necessário transformar o sistema em criticamente amortecido ou superamortecido.

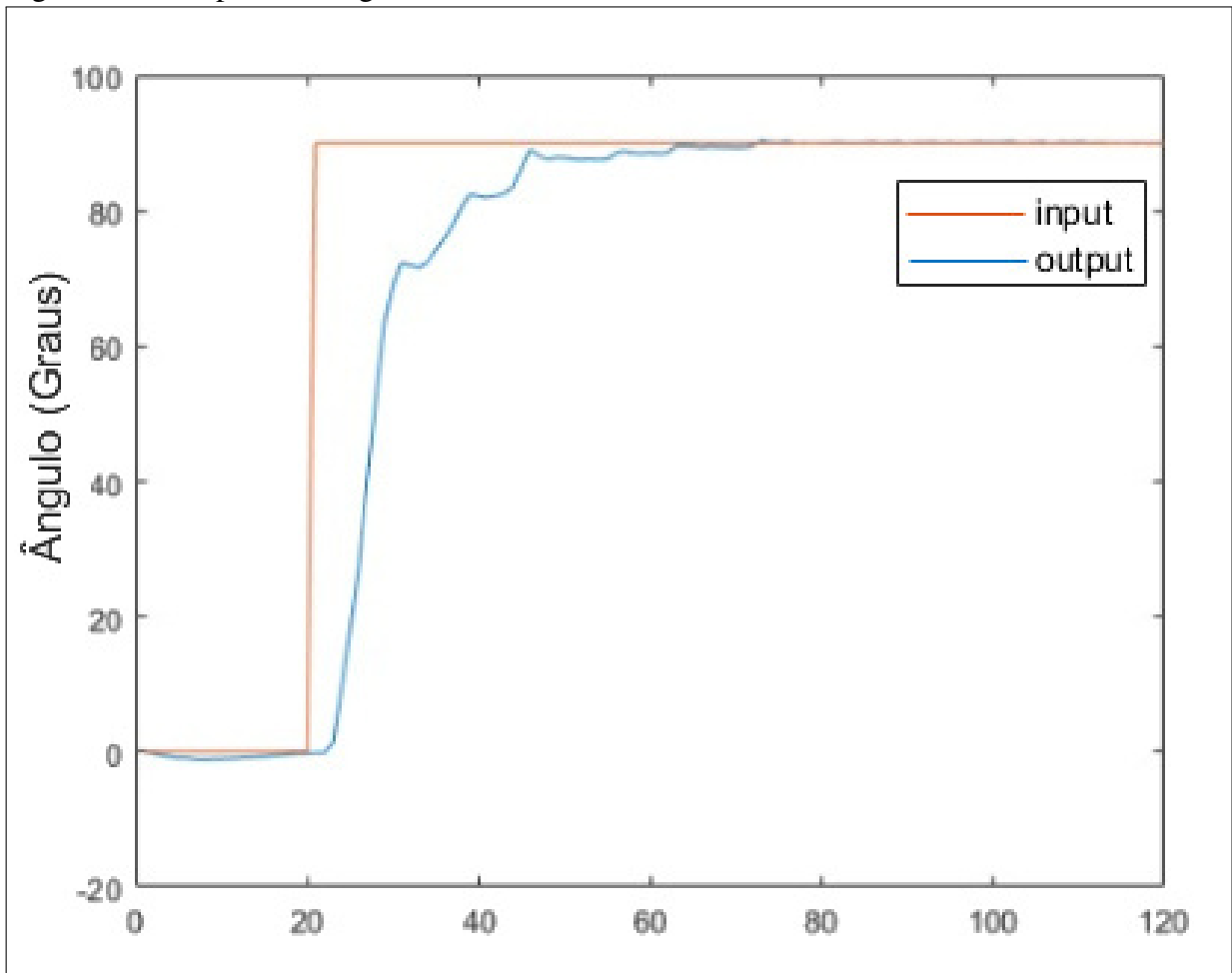
Os controlares para cada junta foram:

$$ControladorBase = \frac{0.9508}{s} \quad (3.8)$$

$$ControladorFinal = 0.379 + \frac{2.62}{s} + 0.0137s \quad (3.9)$$

Com os controladores projetados, foram aplicados no como outro degrau para validar o controlador, como mostrado na Figura 20.

Figura 20 – Resposta ao degrau elo final com controlador



Fonte: Elaborado pelo autor (2021).

3.8 Cinemática inversa aplicada para gerar a trajetória

Com o intuito de encontrar a posição final do manipulador, foi utilizado o método de newton para sistemas não lineares para encontrar os ângulos da junta final e da base para cada posição desejada. Foram utilizadas as Equações 3.1 e 3.2, depois aplicado o Método de Newton (CHAPRA; CANALE, 2016), dessas equações, logo, o sistema foi:

$$F(x) = \begin{bmatrix} 0,12 \cos \theta_1 + 0,20 \cos (\theta_1 + \theta_2) - x \\ 0,12 \sin \theta_1 + 0,20 \sin (\theta_1 + \theta_2) - y \end{bmatrix} \quad (3.10)$$

Sendo x e y as posições a serem encontradas, então, é necessário calcular o jacobiano da função, que é dado por:

$$J_F(x) = \begin{bmatrix} -0,12 \sin \theta_1 - 0,20 \sin (\theta_1 + \theta_2) & -0,20 \sin (\theta_1 + \theta_2) \\ 0,12 \cos \theta_1 + 0,20 \cos (\theta_1 + \theta_2) & 0,20 \cos (\theta_1 + \theta_2) \end{bmatrix} \quad (3.11)$$

Então, foi programada no Octave utilizando de forma interativa a seguinte equação:

$$x_{n+1} = x_n - J_F^{-1}(x_n)F(x_n) \quad (3.12)$$

Após a função pronta e aplicada para as Equações 3.10, 3.11 e 3.12, foi gerada a matriz de trajetória com as seguintes rotas: vertical e trapezoidal.

3.9 Sistema do manipulador

O esquema geral do manipulador consiste na junção dos itens mencionados nos tópicos acima. Então, o esquema começa pela geração da trajetória pelo Octave e calculando o erro angular entre a trajetória e cada junta.

Na parte do gerador de trajetória, são gerados os ângulos das juntas da base e da junta final para a garra do manipulador se encontrar na posição x e y desejada.

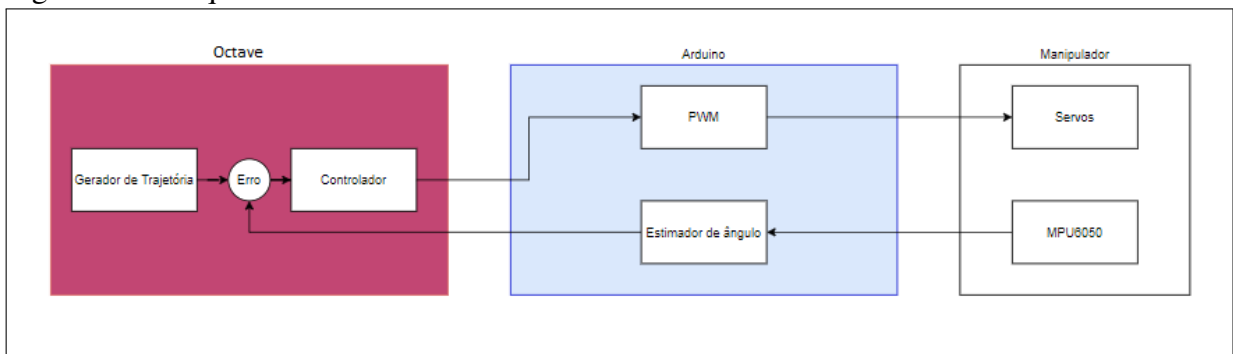
O erro é calculado, sendo a diferença entre o ângulo gerado e o ângulo medido, esse erro passa pela função de controle PID, pela parte proporcional, derivativa e integrativa. O sinal gerado é o sinal de controle que é enviado por USB para o Arduino.

O Arduino recebe por porta serial o sinal de controle de cada junta, logo, ele transforma o sinal de controle em um sinal PWM para enviar para os servos motores.

O MPU6050, que está alocado em cada junta, envia os dados do acelerômetro e giroscópio para o arduino para estimar o ângulo que cada servo se encontra. Após isso, o microcontrolador estima os ângulos por fusão sensorial e filtro de Kalman.

Por fim, é enviado os ângulos estimados para o Octave por porta serial e o processo se repete continuamente. O esquema geral pode ser visualizado na Figura 21.

Figura 21 – Esquema Geral.



Fonte: Elaborado pelo autor (2021).

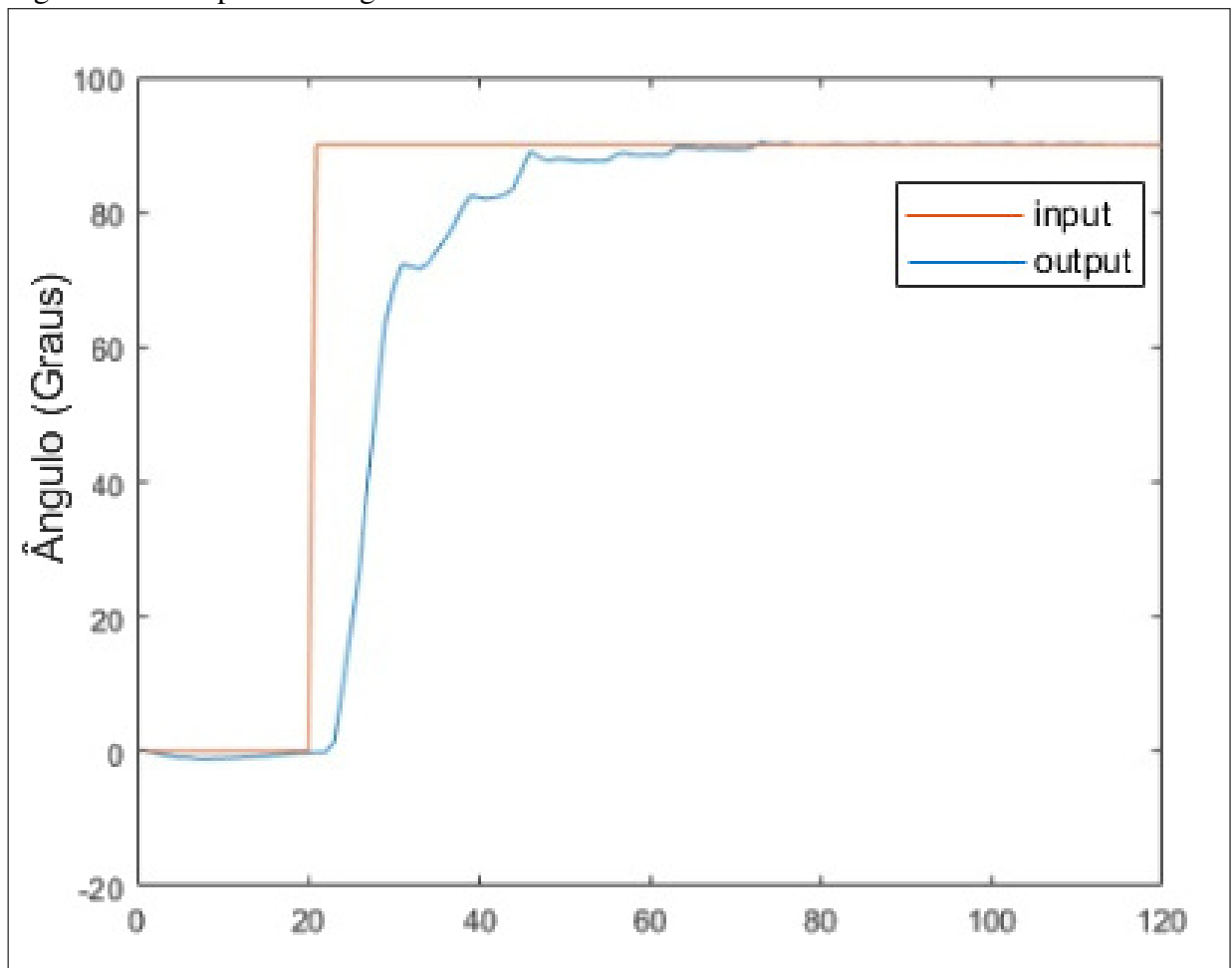
4 RESULTADOS

Nesse capítulo é mostrado os resultados práticos da implementação do controle de ambas as juntas, além disso, é mostrado as trajetórias para mostrar a eficiência do controle . As trajetórias mostradas são as de trajetória vertical e trapezoidal. Também será discutido os resultados, explicando possíveis diferenças do esperado.

4.1 Resultados ao degrau

Neste capítulo é mostrado o resultado ao degrau, além disso é analisado os índices de desempenho. Foi realizado um degrau de 90 graus e 45 graus nas juntas final e base, respectivamente. Sendo, x as amostras e o ângulo em graus.

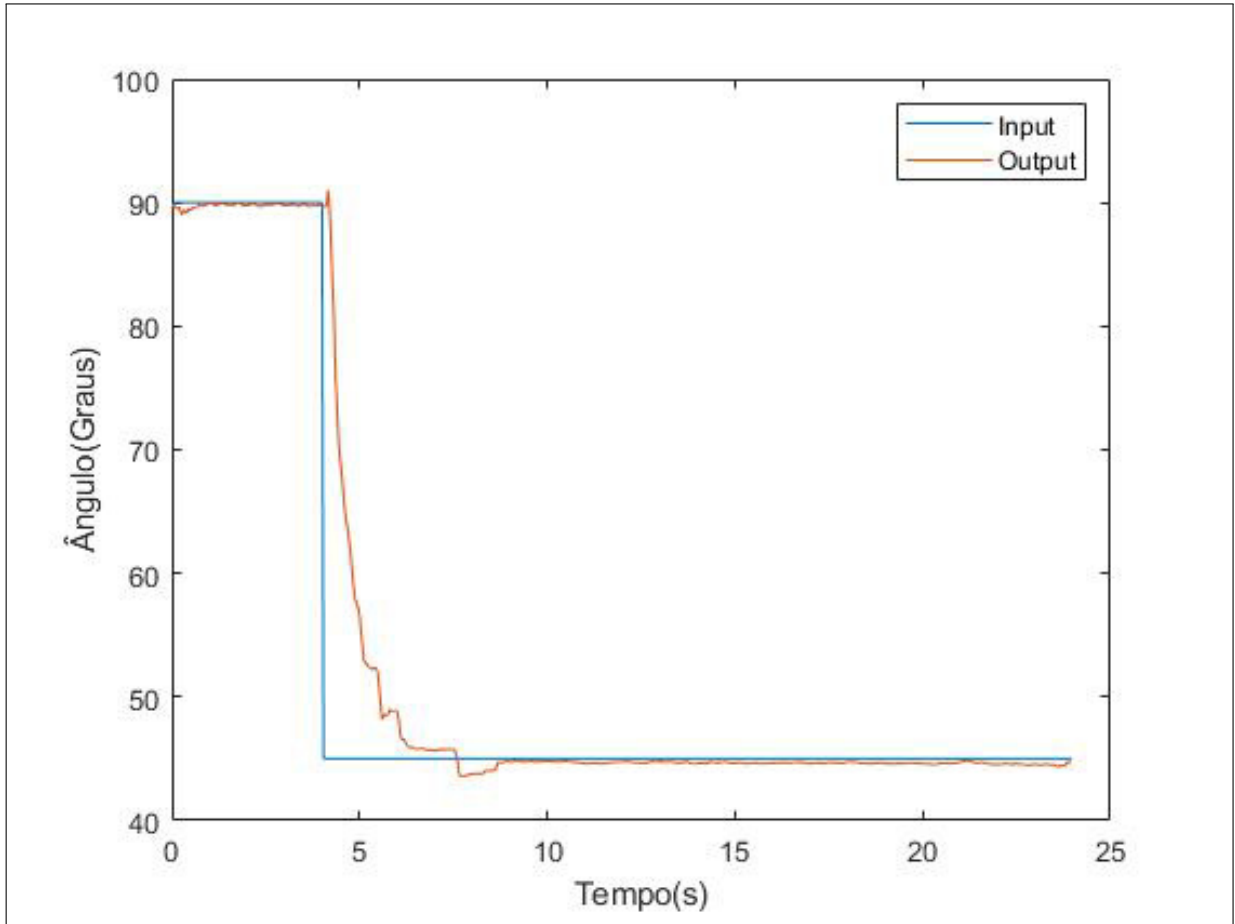
Figura 22 – Resposta ao degrau do elo final com controlador.



Fonte: Elaborado pelo autor (2021).

o *Input* é o sinal de referência, e o *Output* é o resultado experimental. Com isso, é possível notar que o experimental seguir a referência com baixo erro e com velocidade

Figura 23 – Resposta ao degrau elo da base com controlador.



Fonte: Elaborado pelo autor (2021).

Tabela 2 – Índices de desempenho

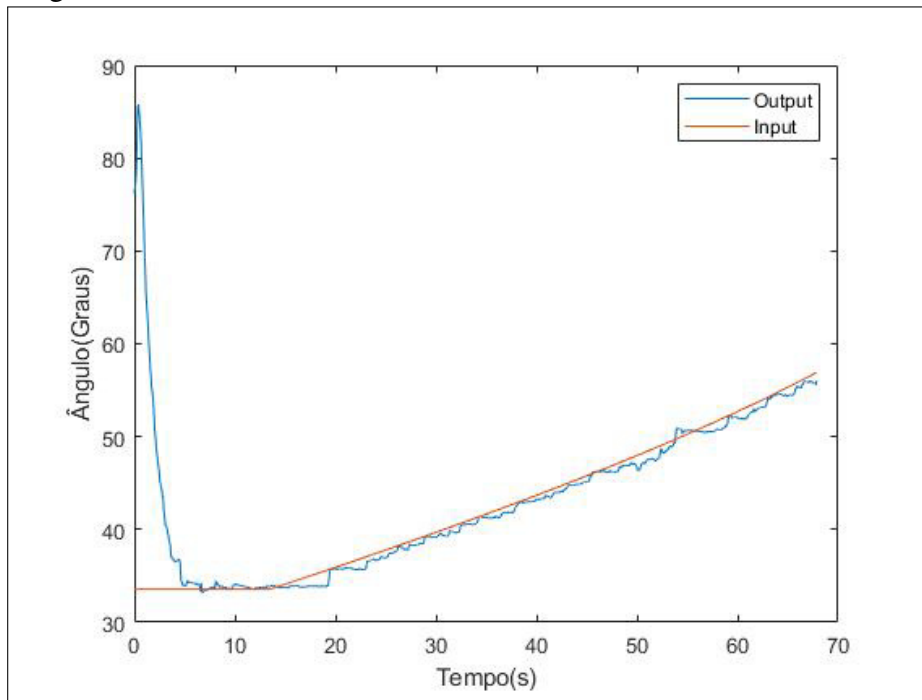
Tempo de subida (s)	Tempo de assentamento (s)	Ultrapassagem(%)
0.361	1.84	0
0.86	3.44	3.3

razoável. O elo final não obteve ultrapassagem, porém o elo da base obteve uma pequena ultrapassagem de 3.44% e um tempo de subida máximo de 0.361s e 0.86s, que segundo o artigo "*Modeling, Simulation and Control of a Robotic Arm*" (EBRAHIMI, 2019) o tempo de subida e a ultrapassagem máximos aceitáveis são de 2 segundos e 5%, respectivamente. O experimento obteve um bom assentamento, conseguiu com alta precisão se mantendo no ângulo certo.

4.2 Resultados dos controladores atuando simultaneamente

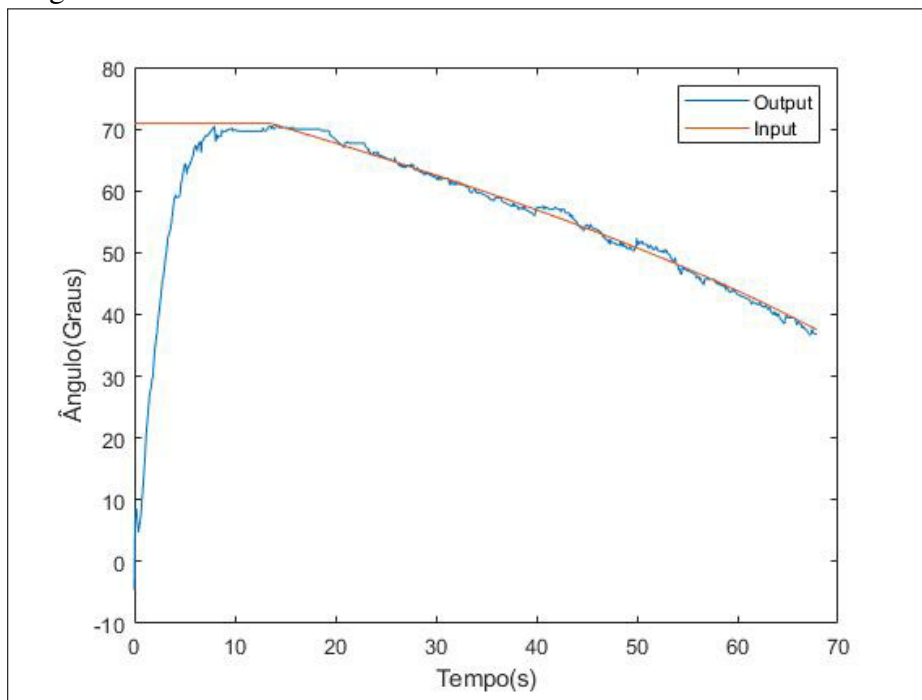
Nesse tópico é mostrado o resultado de ambas as juntas funcionando conjuntamente. Como a junta final fica após a junta da base, movimentos da junta da base interferem na junta final.

Figura 24 – Junta da base.



Fonte: Elaborado pelo autor (2021).

Figura 25 – Junta Final.



Fonte: Elaborado pelo autor (2021).

Os sinais de saída seguiram as referências, no entanto, existiu uma demora para responder aos sinais. A figura mostra que o sinal para de responder para pequenas variações no sinal de saída, essa demora é causada pela zona morta do servo morto, como foi mostrada no capítulo anterior. Apesar dessa diferença, a junta seguiu a referência.

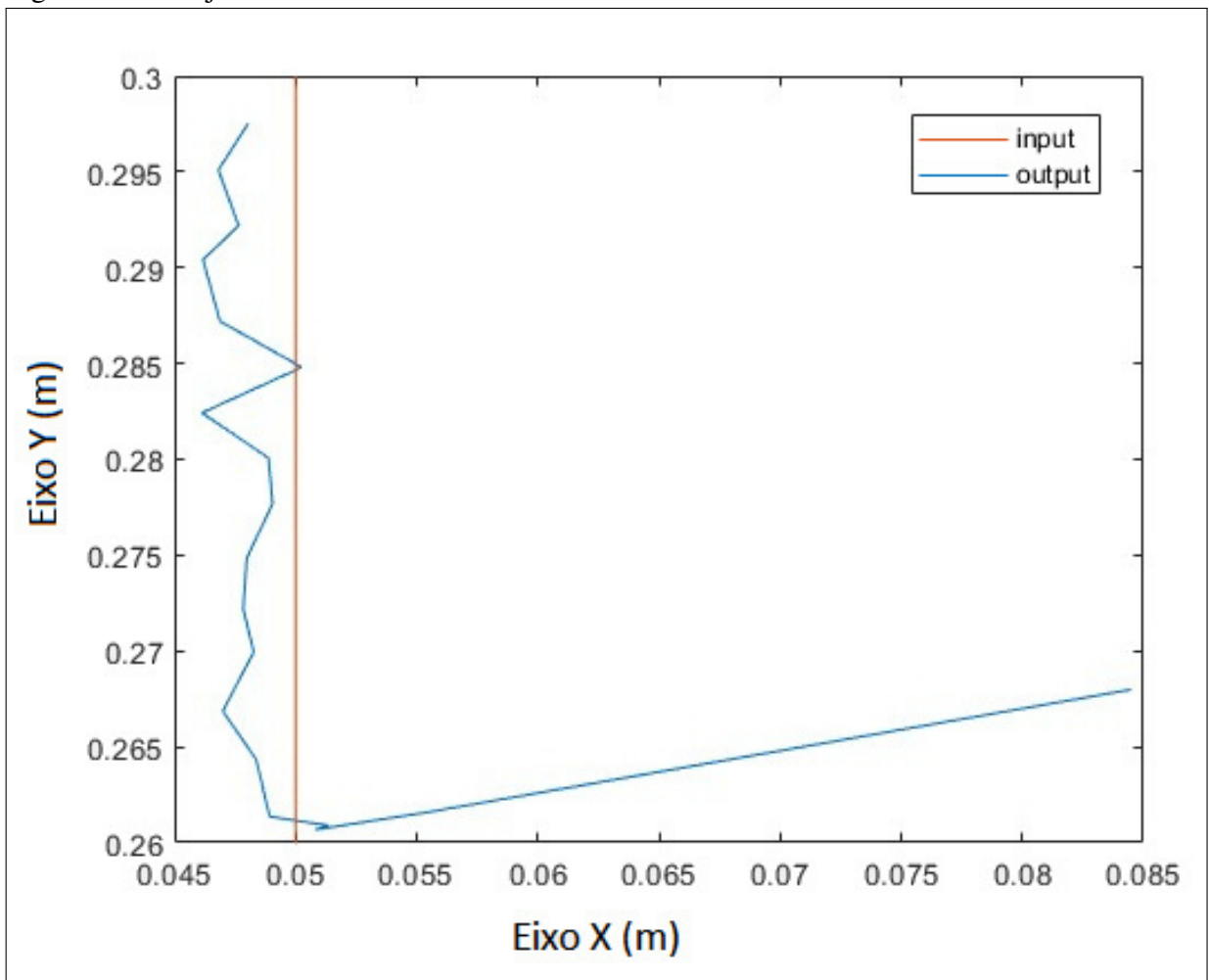
Com ambas as juntas simultaneamente, existiram certas ondulações em torno da referência, No entanto, seguiu a referência.

4.3 Resultado trajetória vertical

Nesse tópico é mostrado a trajetória vertical no plano XY de coordenadas. O *Input* é a trajetória de controle, e o *Output* é o *setpoint*, que é a trajetória experimental obtida. A trajetória é uma vertical com X constante e Y variando.

O resultado foi bem próximo ao esperado, sendo a distância máxima de erro de 5 milímetros da referência. A oscilação é causada, em parte, em razão da zona morta, pois apenas um dos motores ficam se movendo em momentos diferentes, ocasionando uma divergência.

Figura 26 – Trajetória Vertical.



Fonte: Elaborado pelo autor (2021).

O centro das variações está um pouco deslocado, ocasionando esse erro de 2.5mm na referência. O *setpoint* começa em (0,085m, 0,27m), pois é o ponto inicial que se encontrava a

ponta do braço, então, o controle direcionou a ponto para o início da trajetória.

4.4 Resultado trajetória Trapezoidal

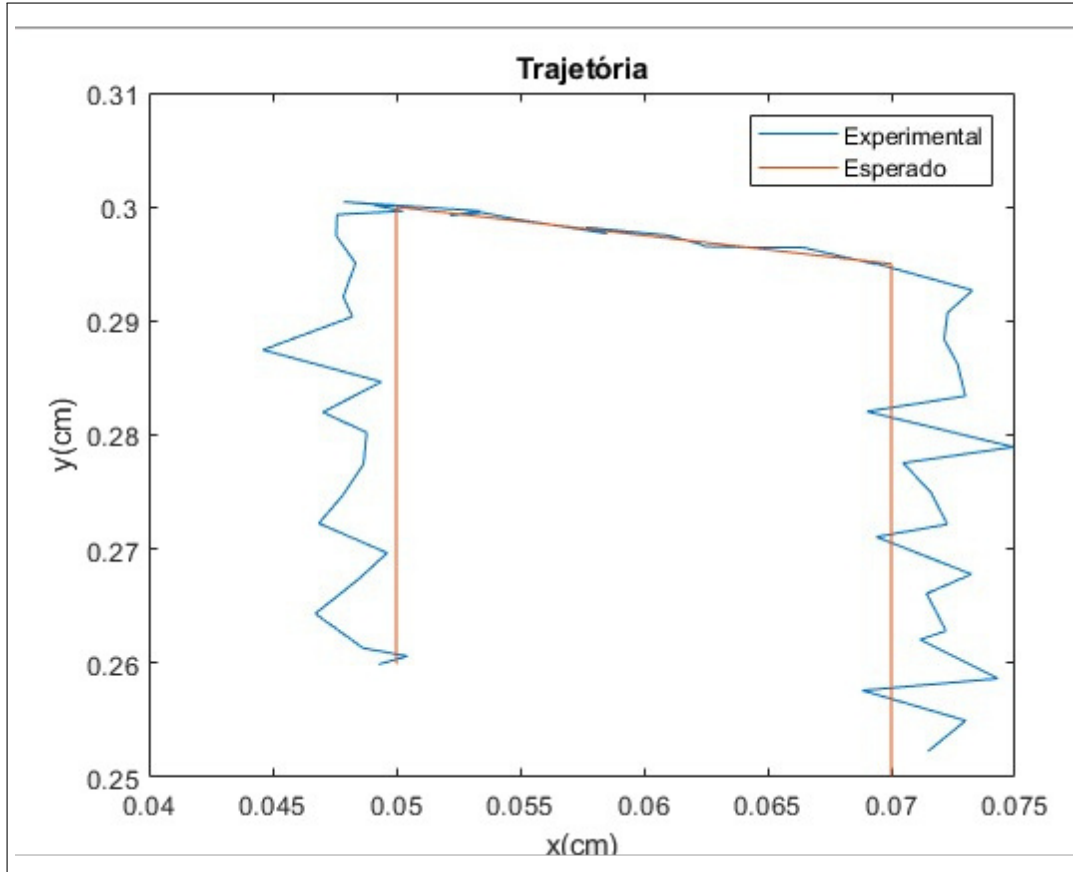
Nesse tópico é mostrado a trajetória trapezoidal no plano XY de coordenadas. O *Input* é a trajetória de controle, e o *Output* é o *setpoint*, que é a trajetória experimental obtida.

Na trajetória trapezoidal o resultado foi similar com o da vertical, acontecendo os mesmo desvios por motivos já citados. Pode-se perceber que o controle conseguiu seguir a trajetória, embora tenha algumas pequenas oscilações.

Outro motivo é para a oscilação é a não-linearidades dos servos motores da base do braço robótico, pois são dois servos com direções opostas movimentando apenas um elo, portanto, existem diferenças de movimentos entre os servos que oscilam o elo da base, pois junta as não-linearidades de cada servo para uma única junta.

Entre o intervalo 0.05m e 0.07m ocorreu uma menor variação, seguindo melhor a referência dada

Figura 27 – Trajetória Trapezoidal.



Fonte: Elaborado pelo autor (2021).

5 CONCLUSÕES E TRABALHOS FUTUROS

O trabalho apresentou uma estratégia de identificação e controle de um manipulador robótico articulado com 2 graus de liberdade e utilizando sensores acelerômetros e giroscópios para a estimação angular de cada junta. É importante atentar que as estratégias foram aplicadas em uma planta real, que foi montada com hardware de baixo custo.

Foram realizadas avaliações de índices de desempenhos nos experimentos, a ultrapassagem máxima foi de 3,3%, sendo o máximo permitido 5%, o tempo de subida máximo foi 0,86s e o máximo aceitável é 2s. Os resultados foram satisfatórios, obtendo um controle de ambas as juntas.

Além disso, na parte de controle de posição, foi possível realizar trajetórias com um nível bom de precisão tanto na trajetória vertical quanto na trapezoidal, ambas com erro máximo de 5mm do esperado.

Como proposta de trabalho futuro, objetivando melhorar a precisão do braço e do controle seria interessante realizar um controle não-linear para cada elo para se adaptar as não-linearidades dos servos. Ainda como proposto pode-se adicionar outros controladores com o intuito de fazer uma análise comparativa com os resultados apresentados. Com isso, é possível aperfeiçoar o projeto.

REFERÊNCIAS

- AGUIRRE, L. A. **Introdução à identificação de sistemas–Técnicas lineares e não-lineares aplicadas a sistemas reais.** [S.l.]: Editora UFMG, 2004.
- BATISTA, J. G. Manipulador pneumático de 2 eixos com clp. Fortaleza, 2009.
- BATISTA, J. G. Manipulador robótico didático, descrição: Desenvolvimento, a implementação de um protótipo de um manipulador robótico scara didático para ensino e pesquisas na área de robótico. Fortaleza, 2018.
- CHAPRA, S. C.; CANALE, R. P. **Métodos Numéricos para Engenharia-7ª Edição.** [S.l.]: McGraw Hill Brasil, 2016.
- COELHO, A. A. R.; COELHO, L. dos S. **Identificação de sistemas dinâmicos lineares.** [S.l.: s.n.], 2004.
- CORKE, P. **Robotics, vision and control: fundamental algorithms in MATLAB® second, completely revised.** [S.l.]: Springer, 2017. v. 118.
- CRAIG, J. J. **Introduction to robotics: mechanics and control, 3/E.** [S.l.]: Pearson Education India, 2009.
- EBRAHIMI, N. Modeling, simulation and control of a robotic arm. engrXiv, 2019.
- FRANKLIN, G. F.; POWELL, J. D.; EMAMI-NAEINI, A. **Sistemas de controle para engenharia.** [S.l.]: Bookman Editora, 2013.
- INDUSTRIA, C. **La Digitalización y la Industria 4.0.** 2017. Disponível em: <<https://industria.ccoo.es/4290fc51a3697f785ba14fce86528e10000060.pdf>>={28mar.202021},not>.
- IVENSENSE SEMICONDUCTORS. **MPU-6000 and MPU-6050 Product Specification transceiver.** [S.l.], 2013. Rev. 3.4.
- LEE, J. **Introduction to Robot Design.** 2018. Disponível em: <<https://slideplayer.com/slide/17013910/>>. Acesso em: 03 fev. 2021.
- ROBÓTICA, F. de. Antonio barrientos, luis felipe peñin, carlos balaguer y rafael aracil. **Edición de,** 1997.
- SANTOS, V. M. Robótica industrial. **Universidade de Aveito-Departamento de Engenharia Mecânica,** 2004.
- SPONG, M. W.; VIDYASAGAR, M. **Robot dynamics and control.** [S.l.]: John Wiley & Sons, 2008.
- SPONG, M. W.; VIDYASAGAR, M. **Robot dynamics and control.** [S.l.]: John Wiley & Sons, 2008.
- TANGIRALA, A. K. **Principles of system identification: theory and practice.** [S.l.]: Crc Press, 2018.
- TOWERPRO. **MG996R High Torque Metal Gear Dual Ball Bearing Servo.** [S.l.], 2010. Rev. 1.

TRONCO, M. L. **Robôs Industriais**. [S.l.]: John Wiley & Sons, 2017.

WB SENSORS. **WDD35D-4**. [S.l.], 2004. Rev. 1.

APÊNDICE A – CÓDIGOS-FONTES UTILIZADOS PARA CONTROLE DO BRAÇO ROBÓTICO

Código-fonte 1 – Código Arduino

```
1  /* Copyright (C) 2012 Kristian Lauszus, TKJ Electronics.  
   All rights reserved.  
2  
3  This software may be distributed and modified under the  
   terms of the GNU  
4  General Public License version 2 (GPL2) as published by  
   the Free Software  
5  Foundation and appearing in the file GPL2.TXT included in  
   the packaging of  
6  this file. Please note that GPL2 Section 2[b] requires  
   that all works based  
7  on this software must also be made publicly available  
   under the terms of  
8  the GPL2 ("Copyleft").  
9  
10 Contact information  
11 -----  
12  
13 Kristian Lauszus, TKJ Electronics  
14 Web      : http://www.tkjelectronics.com  
15 e-mail   : kristianl@tkjelectronics.com  
16 */  
17  
18  
19 int32_t Numero = 1500;  
20 char SuaString[10] = "";  
21 int servoF = 1600;  
22 int servoBM = 1600;
```

```
23 int servoBS = (0.09278*servoBM-149.9)*(-9.661)+1468;
24 int32_t ANGX = 0;
25
26 #include <Wire.h>
27 #include <Kalman.h> // Source: https://github.com/
    TKJElectronics/KalmanFilter
28 #include <Servo.h>
29
30 #define RESTRICT_PITCH // Comment out to restrict roll to
    90deg instead - please read: http://www.freescale.com/
    files/sensors/doc/app_note/AN3461.pdf
31
32 Kalman kalmanX; // Create the Kalman instances
33 Kalman kalmanY;
34
35 Kalman kalmanX2; // Create the Kalman instances
36 Kalman kalmanY2;
37
38 Servo ServBM;
39 Servo ServBS;
40 Servo ServF; // create servo object to control a servo
41 // twelve servo objects can be created on most boards
42
43 /* IMU Data */
44 double accX, accY, accZ;
45 double gyroX, gyroY, gyroZ;
46 int16_t tempRaw;
47
48 double accX2, accY2, accZ2;
49 double gyroX2, gyroY2, gyroZ2;
50 int16_t tempRaw2;
51
```

```
52 double gyroXangle, gyroYangle; // Angle calculate using the
    gyro only
53 double compAngleX, compAngleY; // Calculated angle using a
    complementary filter
54 double kalAngleX, kalAngleY; // Calculated angle using a
    Kalman filter
55
56 double gyroXangle2, gyroYangle2; // Angle calculate using
    the gyro only
57 double compAngleX2, compAngleY2; // Calculated angle using
    a complementary filter
58 double kalAngleX2, kalAngleY2; // Calculated angle using a
    Kalman filter
59
60 uint32_t timer;
61 uint8_t i2cData[14]; // Buffer for I2C data
62
63 uint32_t timer2;
64 uint8_t i2cData2[14]; // Buffer for I2C data
65
66 // TODO: Make calibration routine
67
68 void setup() {
69
70     ServF.attach(5); // attaches the servo on pin 6 to the
        servo object
71     ServBM.attach(6);
72     ServBS.attach(7);
73     ServF.writeMicroseconds(servoF);
74     ServBM.writeMicroseconds(servoBM);
75     ServBS.writeMicroseconds(servoBS);
76     Serial.begin(115200);
```

```
77   Wire.begin();
78   #if ARDUINO >= 157
79     Wire.setClock(400000UL); // Set I2C frequency to 400kHz
80   #else
81     TWBR = ((F_CPU / 400000UL) - 16) / 2; // Set I2C
        frequency to 400kHz
82   #endif
83
84   i2cData[0] = 7; // Set the sample rate to 1000Hz - 8kHz
        /(7+1) = 1000Hz
85   i2cData[1] = 0x00; // Disable FSYNC and set 260 Hz Acc
        filtering, 256 Hz Gyro filtering, 8 KHz sampling
86   i2cData[2] = 0x00; // Set Gyro Full Scale Range to
        250deg /s
87   i2cData[3] = 0x00; // Set Accelerometer Full Scale Range
        to 2g
88   while (i2cWrite(0x19, i2cData, 4, false)); // Write to
        all four registers at once
89   while (i2cWrite(0x6B, 0x01, true)); // PLL with X axis
        gyroscope reference and disable sleep mode
90
91   while (i2cRead(0x75, i2cData, 1));
92   if (i2cData[0] != 0x68) { // Read "WHO_AM_I" register
93     Serial.print(F("Error reading sensor"));
94     while (1);
95   }
96
97   i2cData2[0] = 7; // Set the sample rate to 1000Hz - 8kHz
        /(7+1) = 1000Hz
98   i2cData2[1] = 0x00; // Disable FSYNC and set 260 Hz Acc
        filtering, 256 Hz Gyro filtering, 8 KHz sampling
```

```

99   i2cData2[2] = 0x00; // Set Gyro Full Scale Range to
      250deg /s
100  i2cData2[3] = 0x00; // Set Accelerometer Full Scale Range
      to 2g
101  while (i2cWrite2(0x19, i2cData2, 4, false)); // Write to
      all four registers at once
102  while (i2cWrite2(0x6B, 0x01, true)); // PLL with X axis
      gyroscope reference and disable sleep mode
103
104  while (i2cRead2(0x75, i2cData2, 1));
105  if (i2cData2[0] != 0x68) { // Read "WHO_AM_I" register
106      Serial.print(F("Error reading sensor"));
107      while (1);
108  }
109
110  delay(100); // Wait for sensor to stabilize
111
112  /* Set kalman and gyro starting angle */
113  while (i2cRead(0x3B, i2cData, 6));
114  accX = (int16_t)((i2cData[0] << 8) | i2cData[1]);
115  accY = (int16_t)((i2cData[2] << 8) | i2cData[3]);
116  accZ = (int16_t)((i2cData[4] << 8) | i2cData[5]);
117
118  // Source: http://www.freescale.com/files/sensors/doc/
      app_note/AN3461.pdf eq. 25 and eq. 26
119  // atan2 outputs the value of - to (radians) - see
      http://en.wikipedia.org/wiki/Atan2
120  // It is then converted from radians to degrees
121  #ifndef RESTRICT_PITCH // Eq. 25 and 26
122  double roll = atan2(accY, accZ) * RAD_TO_DEG;
123  double pitch = atan(-accX / sqrt(accY * accY + accZ *
      accZ)) * RAD_TO_DEG;

```

```

124 #else // Eq. 28 and 29
125     double roll  = atan(accY / sqrt(accX * accX + accZ * accZ
126         )) * RAD_TO_DEG;
127     double pitch = atan2(-accX, accZ) * RAD_TO_DEG;
128 #endif
129
130 kalmanX.setAngle(roll); // Set starting angle
131 kalmanY.setAngle(pitch);
132 gyroXangle = roll;
133 gyroYangle = pitch;
134 compAngleX = roll;
135 compAngleY = pitch;
136
137 timer = micros();
138
139 /* Set kalman and gyro starting angle */
140 while (i2cRead2(0x3B, i2cData2, 6));
141 accX2 = (int16_t)((i2cData2[0] << 8) | i2cData2[1]);
142 accY2 = (int16_t)((i2cData2[2] << 8) | i2cData2[3]);
143 accZ2 = (int16_t)((i2cData2[4] << 8) | i2cData2[5]);
144
145 // Source: http://www.freescale.com/files/sensors/doc/
146 // app\_note/AN3461.pdf eq. 25 and eq. 26
147 // atan2 outputs the value of - to (radians) - see
148 // http://en.wikipedia.org/wiki/Atan2
149 // It is then converted from radians to degrees
150 #ifdef RESTRICT_PITCH // Eq. 25 and 26
151     double roll2  = atan2(accY2, accZ2) * RAD_TO_DEG;
152     double pitch2 = atan(-accX2 / sqrt(accY2 * accY2 + accZ2
153         * accZ2)) * RAD_TO_DEG;
154 #else // Eq. 28 and 29

```

```
152     double roll2 = atan(accY2 / sqrt(accX2 * accX2 + accZ2 *
153         accZ2)) * RAD_TO_DEG;
154     double pitch2 = atan2(-accX2, accZ2) * RAD_TO_DEG;
155 #endif
156
157     kalmanX2.setAngle(roll2); // Set starting angle
158     kalmanY2.setAngle(pitch2);
159     gyroXangle2 = roll2;
160     gyroYangle2 = pitch2;
161     compAngleX2 = roll2;
162     compAngleY2 = pitch2;
163
164     timer2 = micros();
165
166
167 }
168
169 void loop() {
170     /* Update all the values */
171     while (i2cRead(0x3B, i2cData, 14));
172     accX = (int16_t)((i2cData[0] << 8) | i2cData[1]);
173     accY = (int16_t)((i2cData[2] << 8) | i2cData[3]);
174     accZ = (int16_t)((i2cData[4] << 8) | i2cData[5]);
175     tempRaw = (int16_t)((i2cData[6] << 8) | i2cData[7]);
176     gyroX = (int16_t)((i2cData[8] << 8) | i2cData[9]);
177     gyroY = (int16_t)((i2cData[10] << 8) | i2cData[11]);
178     gyroZ = (int16_t)((i2cData[12] << 8) | i2cData[13]);
179
180     double dt = (double)(micros() - timer) / 1000000; //
181         Calculate delta time
182     timer = micros();
```

```

182
183 // Source: http://www.freescale.com/files/sensors/doc/
      app_note/AN3461.pdf eq. 25 and eq. 26
184 // atan2 outputs the value of - to (radians) - see
      http://en.wikipedia.org/wiki/Atan2
185 // It is then converted from radians to degrees
186 #ifdef RESTRICT_PITCH // Eq. 25 and 26
187     double roll = atan2(accY, accZ) * RAD_TO_DEG;
188     double pitch = atan(-accX / sqrt(accY * accY + accZ *
      accZ)) * RAD_TO_DEG;
189 #else // Eq. 28 and 29
190     double roll = atan(accY / sqrt(accX * accX + accZ * accZ
      )) * RAD_TO_DEG;
191     double pitch = atan2(-accX, accZ) * RAD_TO_DEG;
192 #endif
193
194     double gyroXrate = gyroX / 131.0; // Convert to deg/s
195     double gyroYrate = gyroY / 131.0; // Convert to deg/s
196
197 #ifdef RESTRICT_PITCH
198     // This fixes the transition problem when the
      accelerometer angle jumps between -180 and 180 degrees
199     if ((roll < -90 && kalAngleX > 90) || (roll > 90 &&
      kalAngleX < -90)) {
200         kalmanX.setAngle(roll);
201         compAngleX = roll;
202         kalAngleX = roll;
203         gyroXangle = roll;
204     } else
205         kalAngleX = kalmanX.getAngle(roll, gyroXrate, dt); //
      Calculate the angle using a Kalman filter
206

```

```
207     if (abs(kalAngleX) > 90)
208         gyroYrate = -gyroYrate; // Invert rate, so it fits the
                restricted accelerometer reading
209     kalAngleY = kalmanY.getAngle(pitch, gyroYrate, dt);
210 #else
211     // This fixes the transition problem when the
                accelerometer angle jumps between -180 and 180 degrees
212     if ((pitch < -90 && kalAngleY > 90) || (pitch > 90 &&
                kalAngleY < -90)) {
213         kalmanY.setAngle(pitch);
214         compAngleY = pitch;
215         kalAngleY = pitch;
216         gyroYangle = pitch;
217     } else
218         kalAngleY = kalmanY.getAngle(pitch, gyroYrate, dt); //
                Calculate the angle using a Kalman filter
219
220     if (abs(kalAngleY) > 90)
221         gyroXrate = -gyroXrate; // Invert rate, so it fits the
                restricted accelerometer reading
222     kalAngleX = kalmanX.getAngle(roll, gyroXrate, dt); //
                Calculate the angle using a Kalman filter
223 #endif
224
225     gyroXangle += gyroXrate * dt; // Calculate gyro angle
                without any filter
226     gyroYangle += gyroYrate * dt;
227     //gyroXangle += kalmanX.getRate() * dt; // Calculate gyro
                angle using the unbiased rate
228     //gyroYangle += kalmanY.getRate() * dt;
229
```

```
230   compAngleX = 0.93 * (compAngleX + gyroXrate * dt) + 0.07
      * roll; // Calculate the angle using a Complimentary
            filter
231   compAngleY = 0.93 * (compAngleY + gyroYrate * dt) + 0.07
      * pitch;
232
233   // Reset the gyro angle when it has drifted too much
234   if (gyroXangle < -180 || gyroXangle > 180)
235       gyroXangle = kalAngleX;
236   if (gyroYangle < -180 || gyroYangle > 180)
237       gyroYangle = kalAngleY;
238
239   /* Print Data */
240   #if 0 // Set to 1 to activate
241       Serial.print(accX); Serial.print("\t");
242       Serial.print(accY); Serial.print("\t");
243       Serial.print(accZ); Serial.print("\t");
244
245       Serial.print(gyroX); Serial.print("\t");
246       Serial.print(gyroY); Serial.print("\t");
247       Serial.print(gyroZ); Serial.print("\t");
248
249       Serial.print("\t");
250   #endif
251   //
252   //// Serial.print(roll); Serial.print("\t");
253   //// Serial.print(gyroXangle); Serial.print("\t");
254   //// Serial.print(compAngleX); Serial.print("\t");
255   // Serial.print(kalAngleX); Serial.print("\t");
256
257   // Serial.print("\t");
258   //
```

```
259 // Serial.print(pitch); Serial.print("\t");
260 // Serial.print(gyroYangle); Serial.print("\t");
261 // Serial.print(compAngleY); Serial.print("\t");
262 // Serial.print(kalAngleY); Serial.print("\t");
263
264 #if 0 // Set to 1 to print the temperature
265     Serial.print("\t");
266
267     double temperature = (double)tempRaw / 340.0 + 36.53;
268     Serial.print(temperature); Serial.print("\t");
269 #endif
270
271 // Serial.print("\r\n");
272     delay(2);
273
274 /* Update all the values */
275     while (i2cRead2(0x3B, i2cData2, 14));
276     accX2 = (int16_t)((i2cData2[0] << 8) | i2cData2[1]);
277     accY2 = (int16_t)((i2cData2[2] << 8) | i2cData2[3]);
278     accZ2 = (int16_t)((i2cData2[4] << 8) | i2cData2[5]);
279     tempRaw2 = (int16_t)((i2cData2[6] << 8) | i2cData2[7]);
280     gyroX2 = (int16_t)((i2cData2[8] << 8) | i2cData2[9]);
281     gyroY2 = (int16_t)((i2cData2[10] << 8) | i2cData2[11]);
282     gyroZ2 = (int16_t)((i2cData2[12] << 8) | i2cData2[13]);;
283
284     double dt2 = (double)(micros() - timer2) / 1000000; //
285         Calculate delta time
286     timer2 = micros();
287
288 // Source: http://www.freescale.com/files/sensors/doc/
289     app_note/AN3461.pdf eq. 25 and eq. 26
```

```

288 // atan2 outputs the value of - to (radians) - see
      http://en.wikipedia.org/wiki/Atan2
289 // It is then converted from radians to degrees
290 #ifdef RESTRICT_PITCH // Eq. 25 and 26
291 double roll2 = atan2(accY2, accZ2) * RAD_TO_DEG;
292 double pitch2 = atan(-accX2 / sqrt(accY2 * accY2 + accZ2
      * accZ2)) * RAD_TO_DEG;
293 #else // Eq. 28 and 29
294 double roll2 = atan(accY2 / sqrt(accX2 * accX2 + accZ2 *
      accZ2)) * RAD_TO_DEG;
295 double pitch2 = atan2(-accX2, accZ2) * RAD_TO_DEG;
296 #endif
297
298 double gyroXrate2 = gyroX2 / 131.0; // Convert to deg/s
299 double gyroYrate2 = gyroY2 / 131.0; // Convert to deg/s
300
301 #ifdef RESTRICT_PITCH
302 // This fixes the transition problem when the
      accelerometer angle jumps between -180 and 180 degrees
303 if ((roll2 < -90 && kalAngleX2 > 90) || (roll2 > 90 &&
      kalAngleX2 < -90)) {
304 kalmanX2.setAngle(roll2);
305 compAngleX2 = roll2;
306 kalAngleX2 = roll2;
307 gyroXangle2 = roll2;
308 } else
309 kalAngleX2 = kalmanX2.getAngle(roll2, gyroXrate2, dt2);
      // Calculate the angle using a Kalman filter
310
311 if (abs(kalAngleX2) > 90)
312 gyroYrate2 = -gyroYrate2; // Invert rate, so it fits
      the restricted accelerometer reading

```

```

313     kalAngleY2 = kalmanY2.getAngle(pitch2, gyroYrate2, dt2);
314 #else
315     // This fixes the transition problem when the
           accelerometer angle jumps between -180 and 180 degrees
316     if ((pitch2 < -90 && kalAngleY2 > 90) || (pitch2 > 90 &&
           kalAngleY2 < -90)) {
317         kalmanY2.setAngle(pitch2);
318         compAngleY2 = pitch2;
319         kalAngleY2 = pitch2;
320         gyroYangle2 = pitch2;
321     } else
322         kalAngleY2 = kalmanY2.getAngle(pitch2, gyroYrate2, dt2)
           ; // Calculate the angle using a Kalman filter
323
324     if (abs(kalAngleY2) > 90)
325         gyroXrate2 = -gyroXrate2; // Invert rate, so it fits
           the restriced accelerometer reading
326     kalAngleX2 = kalmanX2.getAngle(roll2, gyroXrate2, dt2);
           // Calculate the angle using a Kalman filter
327 #endif
328
329     gyroXangle2 += gyroXrate2 * dt2; // Calculate gyro angle
           without any filter
330     gyroYangle2 += gyroYrate2 * dt2;
331     //gyroXangle2 += kalmanX2.getRate() * dt2; // Calculate
           gyro angle using the unbiased rate
332     //gyroYangle2 += kalmanY2.getRate() * dt2;
333
334     compAngleX2 = 0.93 * (compAngleX2 + gyroXrate2 * dt2) +
           0.07 * roll2; // Calculate the angle using a
           Complimentary filter

```

```
335 compAngleY2 = 0.93 * (compAngleY2 + gyroYrate2 * dt2) +
    0.07 * pitch2;
336
337 // Reset the gyro angle when it has drifted too much
338 if (gyroXangle2 < -180 || gyroXangle2 > 180)
339     gyroXangle2 = kalAngleX2;
340 if (gyroYangle2 < -180 || gyroYangle2 > 180)
341     gyroYangle2 = kalAngleY2;
342
343 /* Print Data */
344 #if 0 // Set to 1 to activate
345     Serial.print(accX2); Serial.print("\t");
346     Serial.print(accY2); Serial.print("\t");
347     Serial.print(accZ2); Serial.print("\t");
348
349     Serial.print(gyroX2); Serial.print("\t");
350     Serial.print(gyroY2); Serial.print("\t");
351     Serial.print(gyroZ2); Serial.print("\t");
352
353     Serial.print("\t");
354 #endif
355
356 // Serial.print(roll2); Serial.print("\t");
357 // Serial.print(gyroXangle2); Serial.print("\t");
358 // Serial.print(compAngleX2); Serial.print("\t");
359 // Serial.print(kalAngleX2); Serial.print("\t");
360 //
361 // Serial.print("\t");
362 //
363 // Serial.print(pitch2); Serial.print("\t");
364 // Serial.print(gyroYangle2); Serial.print("\t");
365 // Serial.print(compAngleY2); Serial.print("\t");
```

```
366 // Serial.print(kalAngleY2); Serial.print("\t");
367
368 #if 0 // Set to 1 to print the temperature
369 // Serial.print("\t");
370
371 double temperature2 = (double)tempRaw2 / 340.0 + 36.53;
372 Serial.print(temperature2); Serial.print("\t");
373 #endif
374
375 // Serial.print("\r\n");
376
377 //LER Octave
378
379 if (Serial.available() > 0) {
380
381     for (int i=0;i<10;i++){
382         SuaString[i] = Serial.read();
383         delay(4);
384     }
385     Numero = atol(SuaString);
386     servoF = Numero/10000;
387     servoBM = Numero - servoF*10000;
388     servoBS = (0.09278*servoBM - 149.9)*(-9.661)+1468;
389
390     ANGX = kalAngleX*100;
391     ServF.writeMicroseconds(servoF);
392     ServBM.writeMicroseconds(servoBM);
393     ServBS.writeMicroseconds(servoBS);
394     Serial.println(kalAngleX);
395     Serial.println(kalAngleX2);
396
397 }
```

```
398
399
400 //if (Serial.available() > 0) {
401 //
402 //     for (int i=0;i<5;i++){
403 //         SuaString[i] = Serial.read();
404 //         delay(4);
405 //     }
406 //     Numero = atoi(SuaString);
407 //     myservo.writeMicroseconds(Numero);
408 //     Serial.println(kalAngleX2);
409 //     }
410
411 //FIM LEITURA Octave
412
413     delay(10);
414
415
416 }
```